



RÉPUBLIQUE
FRANÇAISE

*Liberté
Égalité
Fraternité*



Géosciences pour une Terre durable

brgm

BDSolU

**Valeurs de fonds pédogéochimiques
anthropisés en milieu urbain**

Métropole européenne de Lille (59)

Profondeur : 0-5 cm

Avril 2024



GisSol

Avertissement

Les données capitalisées dans la BDSolU proviennent de projets de recherche, de rapports de diagnostics de sol et de programmes de détermination de valeurs de fonds pédogéochimiques locales. Le traitement de ces données a permis de déterminer les valeurs de fond présentées ici pour des sols de surface ou des sols profonds. Ces résultats sont mis à disposition afin d'être valorisés respectivement dans le cadre des démarches de diagnostic de sols et de valorisation des terres excavées.

L'utilisateur est responsable de l'utilisation de ces résultats. En particulier, il lui incombe de s'assurer qu'ils sont appropriés au contexte dans lequel il les utilise.

Tout usage ou interprétation des informations statistiques, des graphiques et des cartes présentés ne saurait engager la responsabilité du BRGM, de l'ADEME, des partenaires du projet, du GIS Sol ou des fournisseurs de données de la BDSolU.

Les valeurs de fond apportent une aide à l'analyse de la situation et ne constituent pas des valeurs seuils. Elles ne sont pas gage d'absence de risque sanitaire.

Il est à noter que l'alimentation de la base de données s'effectue au fil du temps en fonction des contributions. Ainsi, les informations statistiques, les graphiques et les cartes présentés dans la BDSolU peuvent évoluer. Merci de vérifier que vous avez pris connaissance des dernières versions mises à jour.

Les travaux faisant référence aux informations statistiques, aux graphiques et aux cartes présentés ici, doivent porter :

- la mention :

Programme BDSolU du GIS Sol développé par le BRGM en partenariat avec INRAE et eOde, avec la collaboration de MINES ParisTech et le soutien de l'ADEME - 2023.

- la date de parution des résultats (voir en couverture) ;
- une référence aux présentes réserves via le site <https://www.bdsolu.fr>.

Les présents chapitres « Avertissements » et « Contexte général » sont disponibles à l'adresse : <https://www.bdsolu.fr/fr/consulter-valeurs-de-fond>.

SOMMAIRE

Avertissement	3
1. Contexte général	7
2.1. LEGENDE DU TABLEAU DETAILLE DE RESULTATS	9
2.2. DESCRIPTION DES DIAGRAMMES EN BOITE	10
2.3. DESCRIPTION DES HISTOGRAMMES	10
2.4. DESCRIPTION DES CARTES.....	10
3. Tableaux détaillés des valeurs de fond	11
4. Diagrammes en boîte, histogrammes et cartes.....	13
4.1. ELEMENTS	13
4.1.1. Arsenic	13
4.1.2. Cadmium	14
4.1.3. Chrome.....	15
4.1.4. Cuivre	16
4.1.5. Mercure	17
4.1.6. Nickel	18
4.1.7. Plomb	19
4.1.8. Zinc	20
4.2. COUPES C10-C40	21
4.3. HYDROCARBURES AROMATIQUES POLYCYCLIQUES	22
4.3.1. Acénaphène	22
4.3.2. Acénaphylène.....	22
4.3.3. Anthracène	23
4.3.4. Benzo[a]anthracène	23
4.3.5. Benzo[a]pyrène	24
4.3.6. Benzo[b]fluoranthène.....	24
4.3.7. Benzo[ghi]pérylène	25
4.3.8. Benzo[k]fluoranthène.....	25
4.3.9. Chrysène	26
4.3.10. Dibenzo[a,h]anthracène	26
4.3.11. Fluoranthène	27
4.3.12. Fluorène.....	27
4.3.13. Indéno[1,2,3-cd]pyrène	28
4.3.14. Naphtalène.....	28
4.3.15. Phénanthrène	29
4.3.16. Pyrène	29
4.3.17. Somme des 16 HAP US EPA.....	30
4.4. POLYCHLOROBIPHENYLES.....	31
4.4.1. PCB 28	31

4.4.2. PCB 52	31
4.4.3. PCB 101	32
4.4.4. PCB 118	32
4.4.5. PCB 138	33
4.4.6. PCB 153	33
4.4.7. PCB 180	34
4.4.8. Somme des 7 PCB indicateurs	35
4.5. DIOXINES	36
4.5.1. 2-3-7-8-TCDD	36
4.5.2. 1-2-3-7-8-PeCDD	36
4.5.3. 1-2-3-4-7-8-HxCDD	37
4.5.4. 1-2-3-6-7-8-HxCDD	37
4.5.5. 1-2-3-7-8-9-HxCDD	38
4.5.6. 1-2-3-4-6-7-8-HpCDD	38
4.5.7. OCDD	39
4.6. FURANES	40
4.6.1. 2-3-7-8-TCDF	40
4.6.2. 1-2-3-7-8-PeCDF	40
4.6.3. 2-3-4-7-8-PeCDF	41
4.6.4. 1-2-3-4-7-8-HxCDF	41
4.6.5. 1-2-3-6-7-8-HxCDF	42
4.6.6. 1-2-3-7-8-9-HxCDF	42
4.6.7. 2-3-4-6-7-8-HxCDF	43
4.6.8. 1-2-3-4-6-7-8-HpCDF	43
4.6.9. 1-2-3-4-7-8-9-HpCDF	44
4.6.10. OCDF	44
4.7. DIOXINES ET FURANES	45
4.7.1. Somme des dioxines et furanes	45

1. Contexte général

Plus le nombre d'analyses disponibles dans la base de données est élevé et plus il devient possible de calculer des valeurs de fonds pédogéochimiques anthropisés fiables. L'analyse des données actuellement bancarisées dans la BDSolU fait apparaître plusieurs zones géographiques métropolitaines présentant un nombre d'analyses suffisant pour lancer ce calcul, aux profondeurs utiles dans le cadre d'un **diagnostic de sol (0-5 et 0-30 cm)** et/ou de la **valorisation des terres excavées (plus de 30 cm)**.

Préalablement aux calculs, une **étape de sélection** des données vise l'obtention de la population la plus représentative possible en fonction de ces deux objectifs. Cette étape est rendue nécessaire en raison de la diversité des projets qui contribuent à la BDSolU et des hétérogénéités qui en découlent. Ainsi, dans un premier temps, les critères de sélection les plus stricts possibles ont été appliqués. Par exemple, pour les échantillons de surface, on a retenu uniquement les échantillons prélevés dans les parcs et jardins. Néanmoins le besoin d'un effectif suffisant pour permettre le calcul a parfois conduit à prendre en compte des données répondant à des critères moins stricts (par exemple, dans le cas de figure précédent, en acceptant les échantillons prélevés dans des espaces verts entourant des lieux d'habitation ou des installations sportives).

L'étape de calcul comprend :

- Un **dégroupement spatial des points de prélèvements**. En effet, en raison des objectifs des projets contributeurs de la BDSolU et des contraintes de prélèvement en milieu urbain, les points de prélèvements ne sont pas distribués uniformément dans la zone géographique étudiée. Les résultats d'analyse ont donc été pondérés en tenant compte de leur répartition.
- La **prise en compte des valeurs inférieures à la limite de quantification ou LQ** (valeurs < LQ aussi appelées valeurs censurées). Ces concentrations détectées par les méthodes d'analyse mises en œuvre au laboratoire, sont toutefois trop faibles pour être quantifiées de façon fiable. Souvent ignorées, ces valeurs sont pourtant porteuses d'information. Et leur substitution par des valeurs arbitraires (par exemple, 0 ou LQ/2) entraîne des biais statistiques. Dans le cadre des présents travaux, elles ont donc été valorisées au moyen d'une méthode de discrétisation qui consiste à les remplacer par des valeurs calculées, pondérées et situées entre 0 et la LQ (valeurs discrétisées).
- Le **calcul des sommes de concentration pour certaines familles de substances** (16 HAP, PCBi, dioxines et furanes...). Il s'agit simplement d'effectuer la somme des concentrations de chaque substance appartenant à cette famille. Toutefois, là aussi les concentrations < LQ, parfois ignorées également, ont été prises en compte. Dans tous les cas la somme indiquée correspond à la somme de l'ensemble des concentrations et des LQ. Si au moins l'une des concentrations concernées est < LQ, alors la somme est indiquée comme < LQ. Les limites de quantification des sommes ont été calculée selon le même principe. En outre, les sommes de dioxines et de furanes sont fournies en TEQ OMS 2005. Il s'agit de Quantités Equivalentes Toxiques calculées par pondération des concentrations de chaque molécule au moyen de Facteurs de Toxicité Equivalente (TEF) proposés par l'organisation mondiale de la santé en 2005).
- Les **limites basse et haute sont calculées respectivement selon les formules des vibrisses inférieure et supérieure internes de Tukey** (voir la description du

diagramme en boîte selon Tukey ci-dessous). La limite haute est aussi appelée la ligne de base de cette gamme.

Enfin, les résultats sont proposés en suivant les principales modalités suivantes :

- si, pour le paramètre retenu, l'effectif de la population des analyses obtenues après sélection des données brutes bancarisées est **inférieur à 30**, seules les **principales valeurs statistiques** sont fournies (moyenne, médiane, écart type, coefficient de variation, quantiles) ;
- si, pour le paramètre retenu, l'effectif de la population des analyses obtenues après sélection des données brutes bancarisées est **supérieur à 30**, les statistiques de bases sont complétées par les **limites basse et haute de la gamme des concentrations de fond** ;
- L'ensemble de ces valeurs de fonds est associé à un **indicateur de fiabilité** basé sur un nombre d'étoiles : * **peu fiable**, ** **moyennement fiable**, *** **fiable** ;

Cet indicateur tient compte du caractère plus ou moins strict des critères de sélection appliqués, de l'effectif, du taux de valeurs inférieures à la limite de quantification, de la dispersion (coefficient de variation) et de l'éventuelle plurimodalité de la population obtenue.

Les résultats obtenus sont accessibles sur www.bdsolu.fr depuis une carte ou en sélectionnant dans un formulaire à filtres, une zone géographique et un domaine de profondeur. Les pages qui s'affichent ensuite donnent accès à :

- un **tableau simplifié des valeurs de fonds** ;
- un **tableau détaillé des valeurs de fond** pour tableur (téléchargeable au format .csv) ;
- un fichier téléchargeable (au format .pdf) contenant le tableau détaillé des valeurs de fond ainsi que, pour chaque substance ou élément étudié :
 - l'**histogramme de répartition de la population de résultats d'analyse sélectionnée** ;
 - les **diagrammes en boîtes de la distribution statistique de cette population** ;
 - une **carte montrant la localisation géographique des points de prélèvement des échantillons de sol analysés**.

Les informations détaillées concernant le projet ayant conduit à la conception de la BDSolU et du processus de traitement des données bancarisées sont consultables (courant 2024) dans le livrable disponible depuis : <https://www.bdsolu.fr/fr/publications-communications>.

NB :

- Les populations de résultat d'analyse obtenues à l'issue de l'étape de sélection peuvent encore présenter des concentrations élevées. En nombre suffisamment réduit elles n'ont pas d'influence sur le calcul des limites internes de Tukey.
- Les histogrammes et diagrammes en boîte fournis ci-après sont plus ou moins réguliers en fonction des caractéristiques de la population sélectionnée (effectif, taux de valeurs inférieures à la limite de quantification analytique, présence d'outliers ou d'une plurimodalité). De plus, on notera qu'un taux élevé de valeurs inférieures à la limite de quantification analytique peut altérer le processus de construction des diagrammes en boîtes codé dans le langage R.

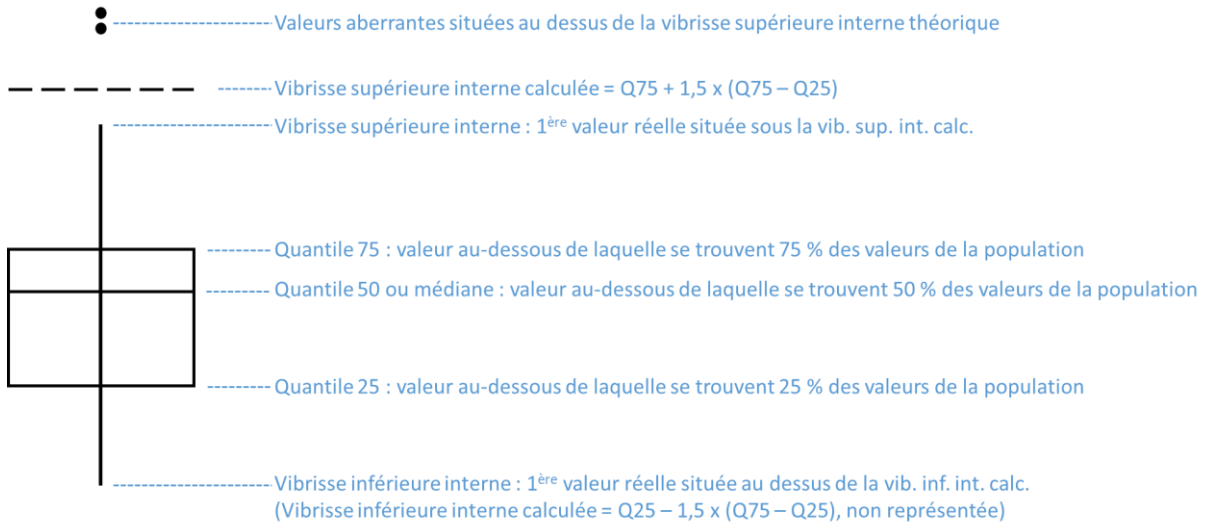
2. Légende et interprétation

2.1. LEGENDE DU TABLEAU DETAILLE DE RESULTATS

Nb.	Effectif de la population de résultats d'analyses utilisée
< LQ(%)	<p>Taux de résultats inférieurs à la limite de quantification. Pour une substance donnée, les LQ peuvent varier d'un échantillon à un autres. Ceci est dû :</p> <ul style="list-style-type: none"> • aux variations des conditions d'analyse en fonction du volume ou de la nature des échantillons, au sein d'un même laboratoire ; • aux différences des méthodes d'analyse entre laboratoire ; • à l'évolution des méthodes d'analyse employées avec le temps. <p>Il est donc normal que pour des échantillons différents, une même valeur puisse être classée à la fois <LQ et >LQ ou que certaines valeurs plus élevées soient identifiées comme <LQ alors que des valeurs plus faibles sont identifiées comme >LQ.</p>
Nb. disc.	Nombre de concentrations discrétisées pour le traitement des valeurs inférieures à la limite de quantification
Moyenne	<p>Moyenne arithmétique des concentrations. Somme des n concentrations divisée par n.</p> $\bar{x} = \frac{1}{n} \sum_{i=1}^n x_i$
Ecart type	<p>Mesure de la dispersion des concentrations. Racine carrée de la moyenne des carrés de l'écart des n concentrations à leur moyenne.</p> $\sigma = \sqrt{\frac{1}{n} \sum_{i=1}^n (x_i - \bar{x})^2}$
CV (%)	<p>Coefficient de variation en %. Ecart type divisé par la moyenne.</p> $CV = \frac{\sigma}{\bar{x}}$
Q10	Quantile 10%
Q25	Quantile 25%
Médiane	Quantile 50% et médiane
Q75	Quantile 75%
Q90	Quantile 90%
Q95	Quantile 95%
Vibrisse inf. int.	<p>Vibrisse inférieure interne calculée : Limite basse de la gamme de concentrations de fond. Vib. inf. int. calc. = Q25 - 1,5 x (Q75-Q25)</p>
Vibrisse sup. int.	<p>Vibrisse supérieure interne calculée : Limite haute de la gamme de concentrations de fond, Ligne de base. Vib. sup. int. calc. = Q75 + 1,5 x (Q75-Q25)</p>
Unités	Unités de mesure
TEQ	Toxic Equivalent Quantity. Quantité toxique équivalente exprimée selon les modalités de calcul recommandées par l'OMS en 2005.
Indice de fiabilité	Indice de fiabilité des valeurs de fond fournies : * faible, ** moyen, *** bon

2.2. DESCRIPTION DES DIAGRAMMES EN BOITE

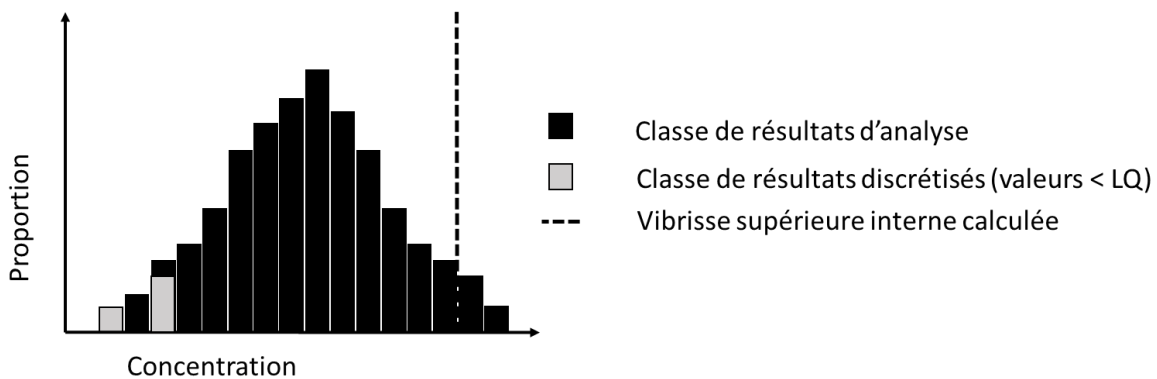
Le diagramme en boîte (aussi appelé boîte à moustaches ou boîte de Tukey ou box and whisker plot en anglais) est une représentation graphique qui permet une visualisation rapide des données statistiques d'une population.



2.3. DESCRIPTION DES HISTOGRAMMES

L'histogramme est une représentation graphique qui permet de visualiser la distribution des données statistiques d'une population selon des intervalles appelés classes. Chaque classe de données est représentée par une colonne de hauteur proportionnelle à son effectif. Dans les histogrammes présentés ici, les résultats d'analyse inférieurs à la limite de quantification de la méthode d'analyse ont été remplacés par des séries de valeurs dites discrétisées.

Une même population peut présenter plusieurs limites de quantification.



2.4. DESCRIPTION DES CARTES

Les cartes géographiques permettent d'apprécier l'étendue de la zone géographique où ont été sélectionnées les données, ainsi que l'uniformité de la répartition spatiale des points de prélèvement.

3. Tableaux détaillés des valeurs de fond

Paramètre	Nb.	<LQ(%)	Nb.Éisc.	Moyenne	Ecart type	CV(%)	Q10	Q25	Médiane	Q75	Q90	Q95	Vibrisse inf. int.	Vibrisse sup. int.	Unité	Indice de fiabilité
Arsenic	42	0	42	8	2	0	6	7	7	9	10	11	4	11	mg/kg	***
Cadmium	42	47	222	0.4	0.3	0.6	0.1	0.2	0.4	0.6	0.7	1.0	0.0	1.2	mg/kg	**
Chrome	112	0	112	23	4	0	19	21	23	25	27	28	15	31	mg/kg	***
Cuivre	42	0	42	35	16	0	22	27	32	40	45	76	8	59	mg/kg	***
Mercure	42	23	42	0.2	0.2	0.7	0.1	0.1	0.2	0.3	0.3	0.4	0.0	0.6	mg/kg	***
Nickel	112	0	112	18	3	0	14	16	18	19	22	22	12	24	mg/kg	***
Plomb	42	0	42	96	70	1	38	62	81	132	150	179	0	238	mg/kg	**
Zinc	42	0	42	140	60	0	75	97	140	180	200	300	0	300	mg/kg	***

Paramètre	Nb.	<LQ(%)	Nb.Éisc.	Moyenne	Ecart type	CV(%)	Q10	Q25	Médiane	Q75	Q90	Q95	Vibrisse inf. int.	Vibrisse sup. int.	Unité	Indice de fiabilité
C10-C40	28	21	28	31	21	1	12	19	25	41	64	86	-	-	mg/kg	**

Paramètre	Nb.	<LQ(%)	Nb.Éisc.	Moyenne	Ecart type	CV(%)	Q10	Q25	Médiane	Q75	Q90	Q95	Vibrisse inf. int.	Vibrisse sup. int.	Unité	Indice de fiabilité
Acénaphène	42	85	366	0.010	0.012	1.200	0.001	0.003	0.007	0.011	0.020	0.036	0.00	0.02	mg/kg	**
Acénaphylène	42	45	213	0.025	0.024	0.940	0.002	0.008	0.013	0.040	0.060	0.068	0.00	0.09	mg/kg	**
Anthracène	42	16	42	0.056	0.055	0.980	0.013	0.025	0.046	0.070	0.120	0.160	0.00	0.14	mg/kg	**
Benzo[a]anthracène	42	0	42	0.240	0.220	0.940	0.073	0.086	0.200	0.330	0.490	0.540	0.00	0.70	mg/kg	**
Benzo[a]pyrène	42	2	42	0.250	0.220	0.910	0.066	0.100	0.170	0.360	0.570	0.580	0.00	0.73	mg/kg	***
Benzo[b]fluoranthène	42	0	42	0.380	0.340	0.880	0.110	0.180	0.280	0.570	0.800	0.800	0.00	1.20	mg/kg	**
Benzo[ghi]pérylène	42	0	42	0.180	0.180	0.960	0.050	0.075	0.120	0.260	0.450	0.450	0.00	0.53	mg/kg	***
Benzo[k]fluoranthène	42	0	42	0.150	0.140	0.890	0.039	0.061	0.120	0.230	0.350	0.350	0.00	0.48	mg/kg	***
Chrysène	42	0	42	0.230	0.200	0.880	0.073	0.092	0.200	0.320	0.450	0.540	0.00	0.66	mg/kg	**
Dibenzo[a,h]anthracène	42	73	321	0.045	0.054	1.200	0.003	0.010	0.023	0.060	0.160	0.160	0.00	0.14	mg/kg	**
Fluoranthène	42	0	42	0.440	0.420	0.960	0.130	0.180	0.360	0.560	0.870	1.300	0.00	1.10	mg/kg	**
Fluorène	42	71	312	0.015	0.021	1.400	0.001	0.003	0.008	0.016	0.030	0.070	0.00	0.03	mg/kg	**
Indéno[1,2,3-cd]pyrène	42	0	42	0.200	0.200	0.990	0.050	0.078	0.120	0.290	0.460	0.460	0.00	0.61	mg/kg	***
Naphtalène	42	73	321	0.013	0.024	1.800	0.001	0.003	0.007	0.011	0.024	0.040	0.00	0.02	mg/kg	**
Phénanthrène	42	0	42	0.200	0.230	1.100	0.050	0.090	0.150	0.210	0.440	0.750	0.00	0.38	mg/kg	**
Pyrène	42	0	42	0.320	0.290	0.910	0.093	0.140	0.260	0.410	0.620	0.900	0.00	0.82	mg/kg	**
Somme 16 HAP	42	0	42	2.720	2.510	0.920	0.763	1.210	2.200	3.820	5.560	6.610	0.00	7.74	mg/kg	**

BDSolU – Valeurs de fonds pédogéochimiques anthropisés en milieu urbain

Paramètre	Nb.	<LQ(%)	Nb.äisc.	Moyenne	Ecart type	CV(%)	Q10	Q25	Médiane	Q75	Q90	Q95	Vibrisse inf. int.	Vibrisse sup. int.	Unité	Indice de fiabilité
PCB 28	35	100	350	0.003	0.003	1.000	0.000	0.001	0.002	0.006	0.009	0.010	0.00	0.01	mg/kg	**
PCB 52	35	97	341	0.003	0.003	1.000	0.000	0.001	0.002	0.006	0.009	0.010	0.00	0.01	mg/kg	**
PCB 101	35	85	305	0.004	0.004	1.200	0.000	0.001	0.002	0.006	0.009	0.010	0.00	0.01	mg/kg	**
PCB 118	35	80	287	0.004	0.004	0.980	0.000	0.001	0.002	0.006	0.009	0.010	0.00	0.01	mg/kg	**
PCB 138	35	60	224	0.008	0.021	2.800	0.001	0.002	0.003	0.007	0.010	0.012	0.00	0.01	mg/kg	**
PCB 153	35	62	233	0.007	0.021	2.900	0.001	0.001	0.003	0.007	0.010	0.010	0.00	0.02	mg/kg	**
PCB 180	35	74	269	0.006	0.019	3.000	0.000	0.001	0.002	0.006	0.009	0.010	0.00	0.01	mg/kg	**
Somme 7 PCBi	35	0	35	0.014	0.065	4.760	0.000	0.000	0.000	0.005	0.011	0.030	0.00	0.01	mg/kg	**

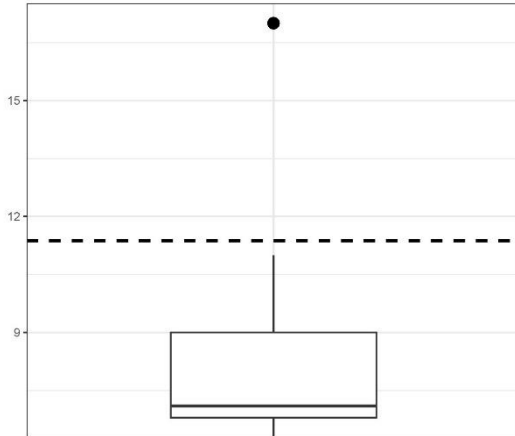
Paramètre	Nb.	<LQ(%)	Nb.äisc.	Moyenne	Ecart type	CV(%)	Q10	Q25	Médiane	Q75	Q90	Q95	Vibrisse inf. int.	Vibrisse sup. int.	Unité	Indice de fiabilité
2-3-7-8-TCDD	63	88	567	0	0	1	0	0	0	0	1	1	0	1	ng/kg	*
1-2-3-7-8-PeCDD	63	38	279	1	2	1	0	0	1	2	3	4	0	4	ng/kg	**
1-2-3-4-7-8-HxCDD	63	44	315	2	2	1	0	1	1	2	4	5	0	4	ng/kg	**
1-2-3-6-7-8-HxCDD	63	26	216	3	3	1	0	1	2	4	7	7	0	7	ng/kg	**
1-2-3-7-8-9-HxCDD	63	28	225	2	3	1	0	1	2	3	6	6	0	6	ng/kg	**
1-2-3-4-6-7-8-HpCDD	63	3	63	32	36	1	9	12	20	34	66	83	0	68	ng/kg	**
OCDD	63	1	63	177	353	2	32	62	89	145	246	469	0	270	ng/kg	**
2-3-7-8-TCDF	63	7	63	5	5	1	1	2	3	5	12	18	0	10	ng/kg	**
1-2-3-7-8-PeCDF	63	12	63	3	3	1	1	1	2	3	7	10	0	7	ng/kg	**
2-3-4-7-8-PeCDF	63	7	63	4	5	1	1	2	3	4	7	15	0	8	ng/kg	**
1-2-3-4-7-8-HxCDF	63	9	63	6	10	2	1	2	4	6	12	16	0	11	ng/kg	**
1-2-3-6-7-8-HxCDF	63	14	63	4	4	1	1	2	3	4	7	12	0	8	ng/kg	**
1-2-3-7-8-9-HxCDF	63	84	540	1	1	1	0	0	1	1	2	4	0	3	ng/kg	**
2-3-4-6-7-8-HxCDF	63	15	63	5	6	1	1	2	3	6	8	15	0	12	ng/kg	**
1-2-3-4-6-7-8-HpCDF	63	20	63	19	25	1	6	8	14	21	41	53	0	40	ng/kg	**
1-2-3-4-7-8-9-HpCDF	63	87	558	3	5	2	0	1	2	4	7	8	0	10	ng/kg	*
OCDF	63	61	414	19	24	1	2	6	13	22	40	57	0	47	ng/kg	**
Somme dioxines-furanes TEQ	63	0	63	7	7	1	2	4	5	8	12	19	0	14	ng/kg	**

4. Diagrammes en boîte, histogrammes et cartes

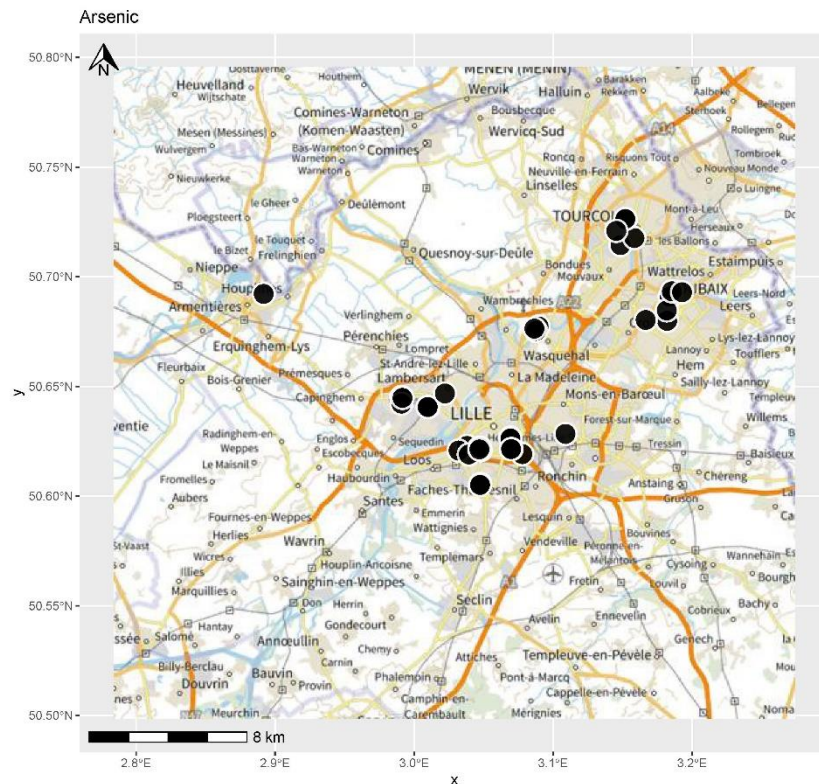
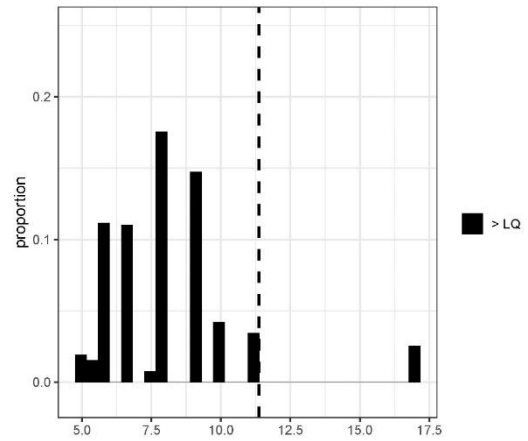
4.1. ELEMENTS

4.1.1. Arsenic

Arsenic
Boxplot dégroupé
LQ discretisées

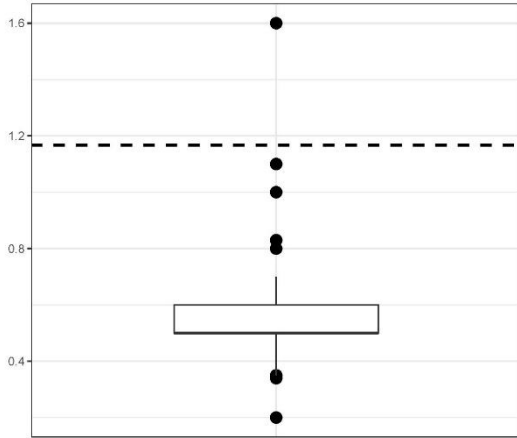


Arsenic
Histogramme dégroupé
LQ discretisées

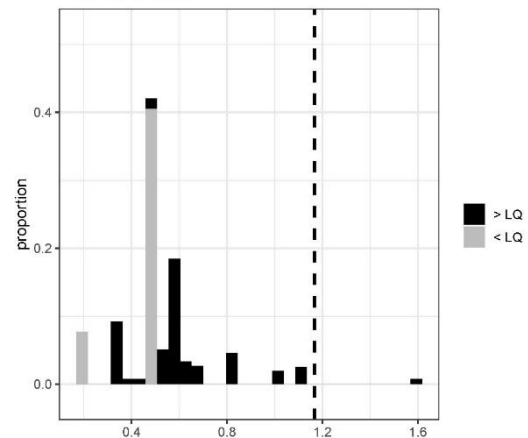


4.1.2. Cadmium

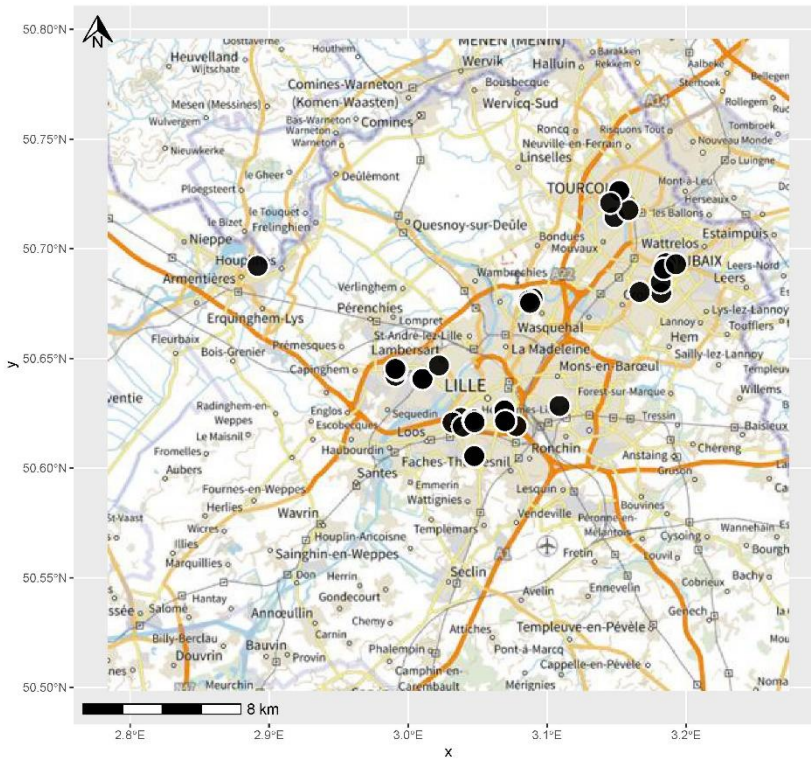
Cadmium
Boxplot dégroupé
LQ discretisées



Cadmium
Histogramme dégroupé
LQ discretisées

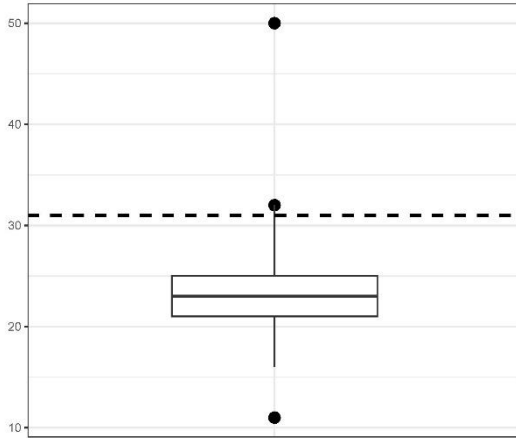


Cadmium

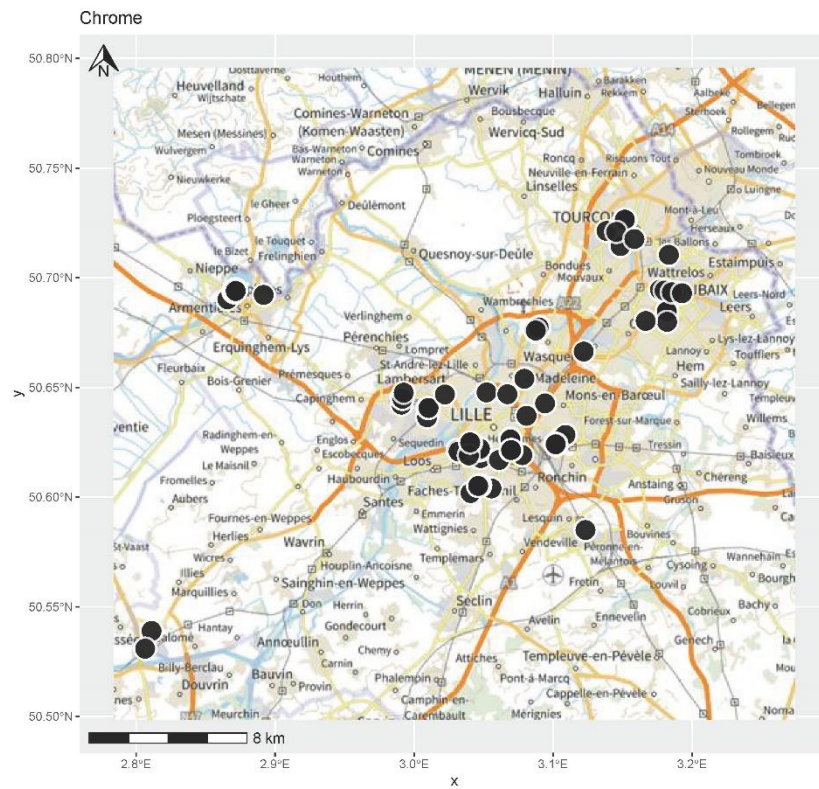
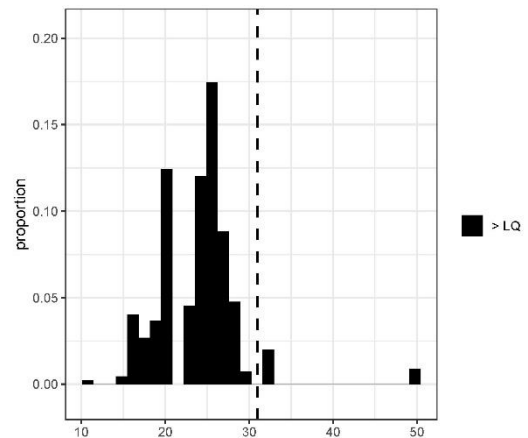


4.1.3. Chrome

Chrome
Boxplot dégroupé
LQ discretisées

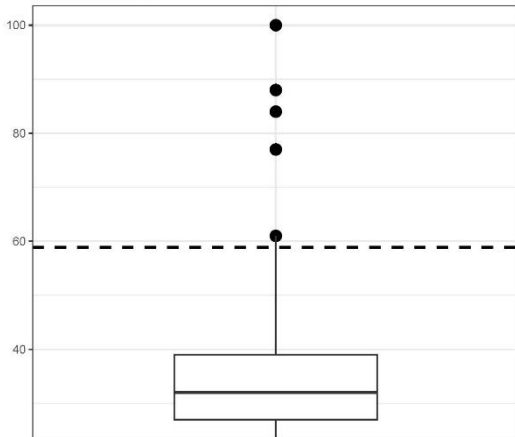


Chrome
Histogramme dégroupé
LQ discretisées

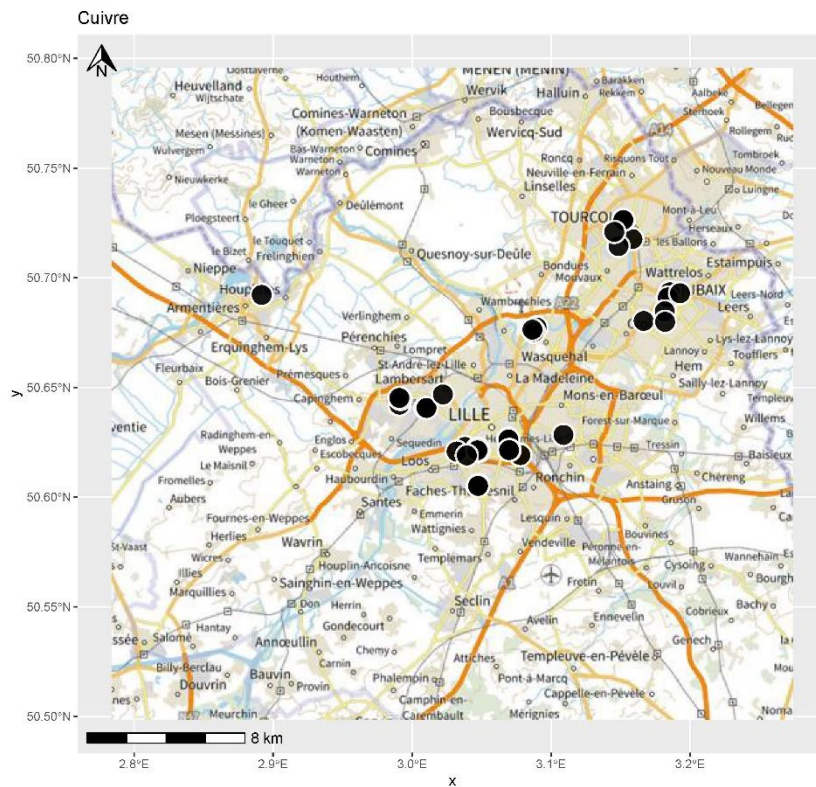
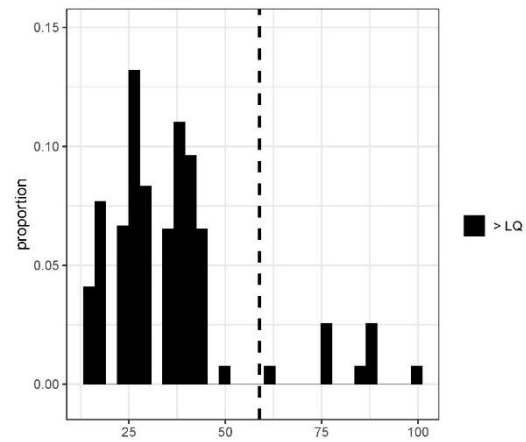


4.1.4. Cuivre

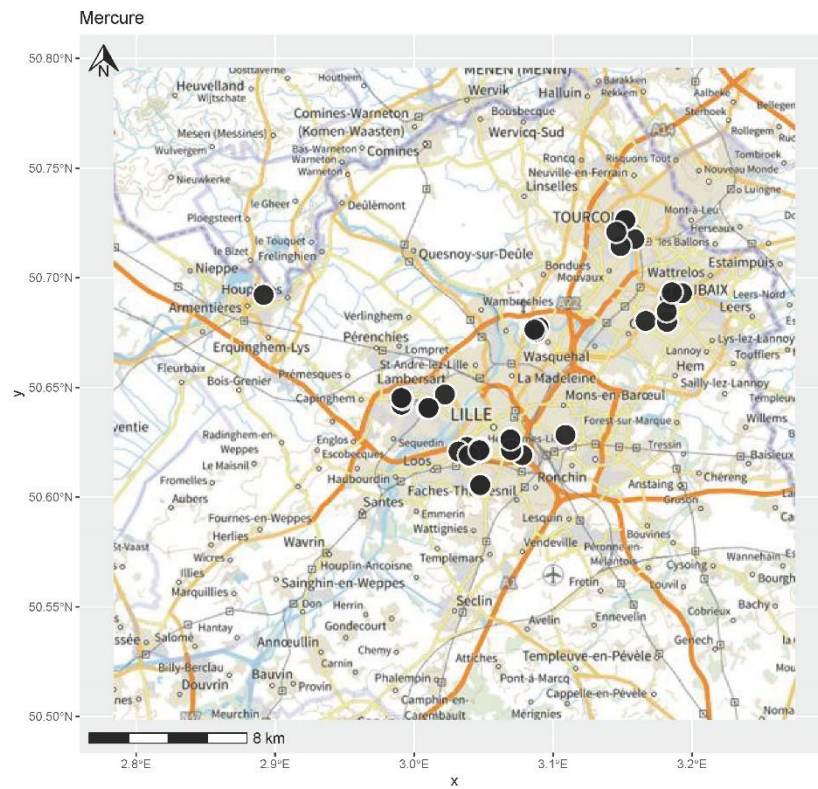
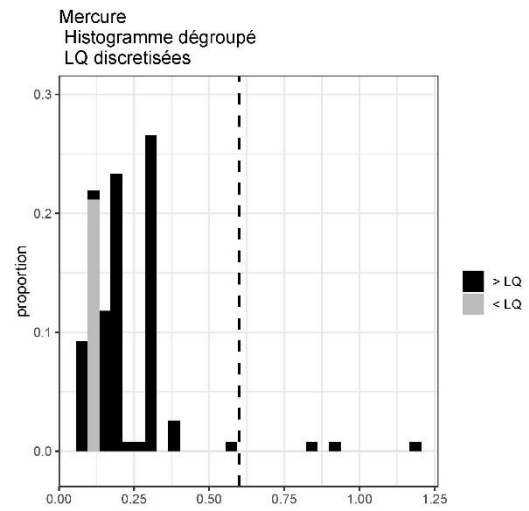
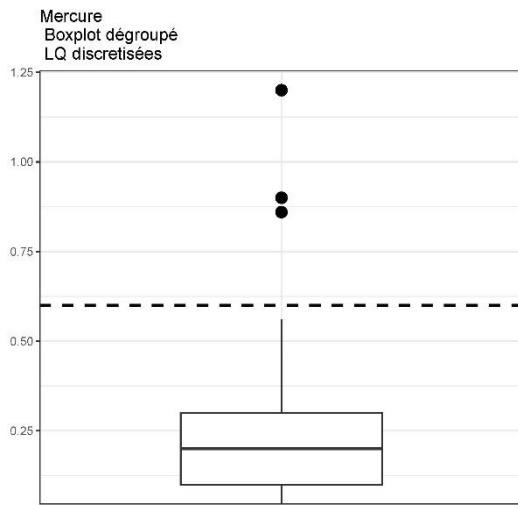
Cuivre
Boxplot dégroupé
LQ discretisées



Cuivre
Histogramme dégroupé
LQ discretisées

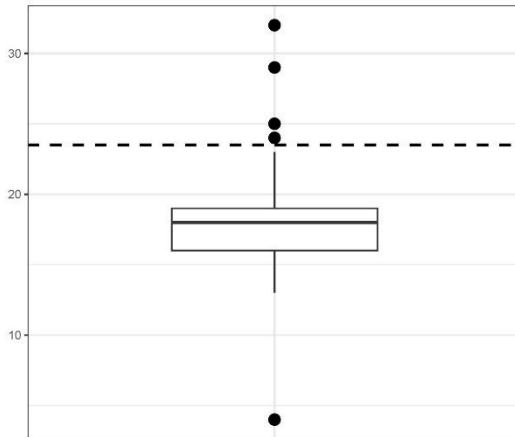


4.1.5. Mercure

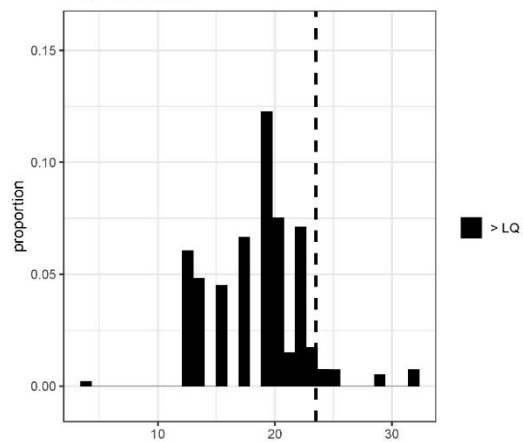


4.1.6. Nickel

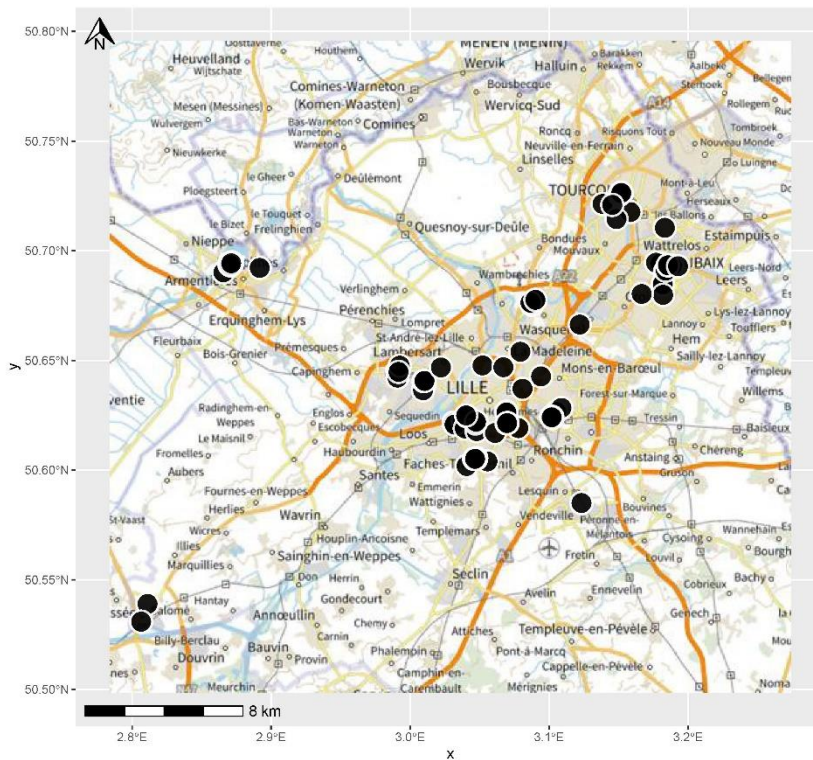
Nickel
Boxplot dégroupé
LQ discretisées



Nickel
Histogramme dégroupé
LQ discretisées

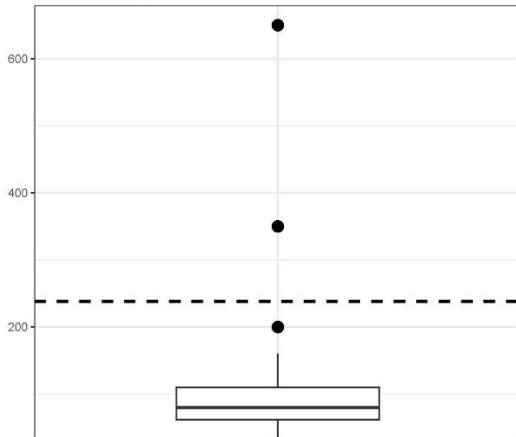


Nickel

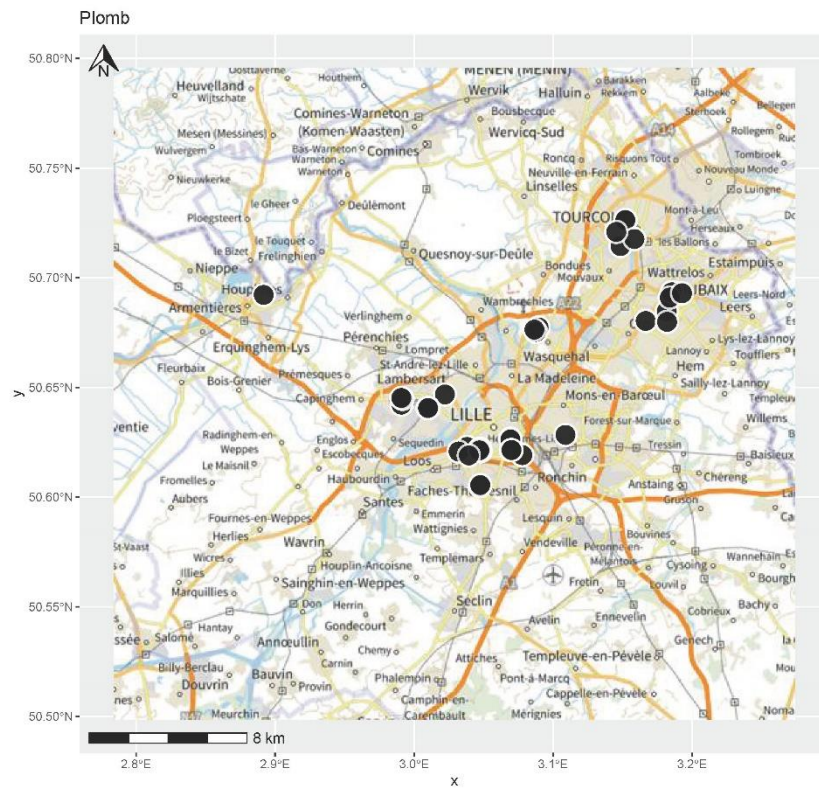
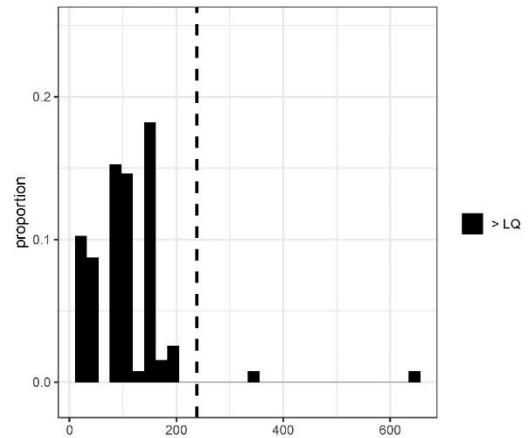


4.1.7. Plomb

Plomb
Boxplot dégroupé
LQ discretisées

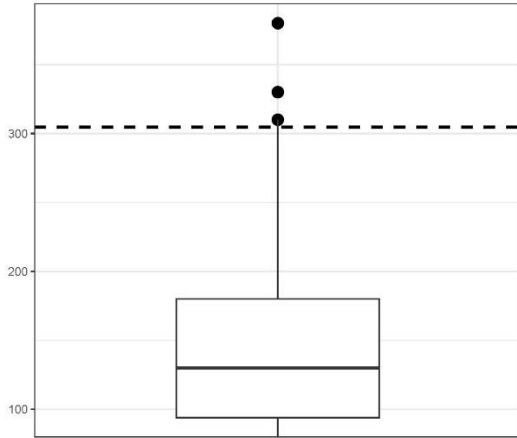


Plomb
Histogramme dégroupé
LQ discretisées

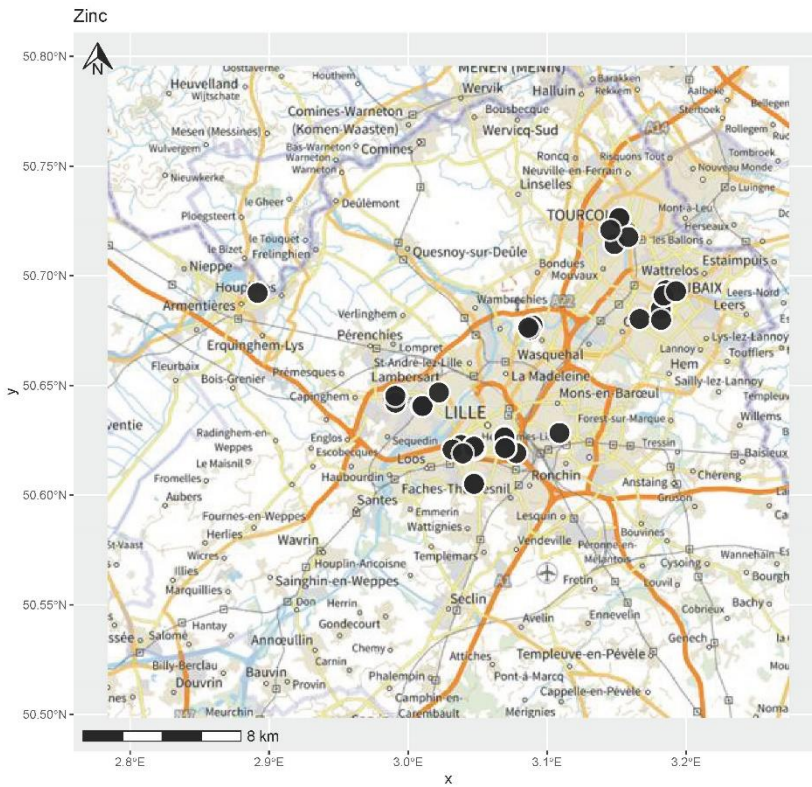
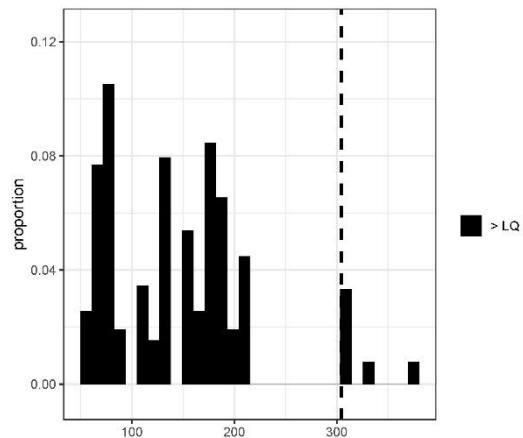


4.1.8. Zinc

Zinc
Boxplot dégroupé
LQ discretisées

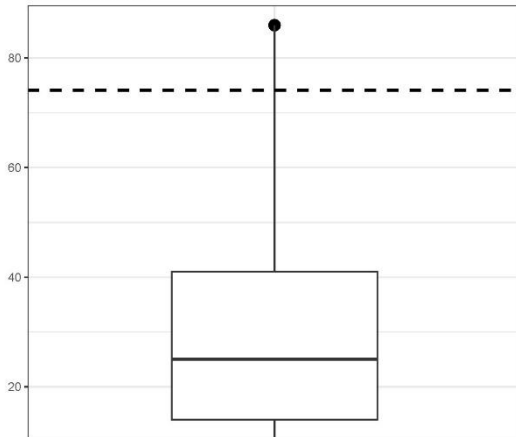


Zinc
Histogramme dégroupé
LQ discretisées

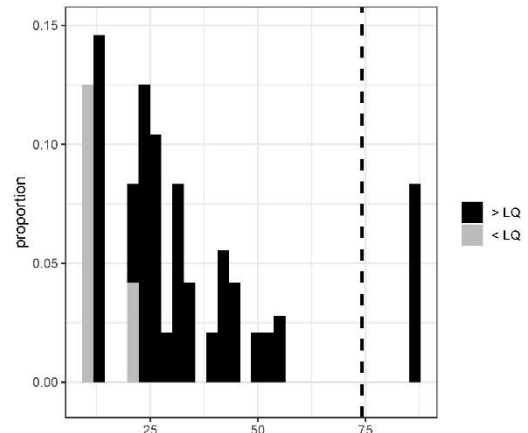


4.2. COUPES C10-C40

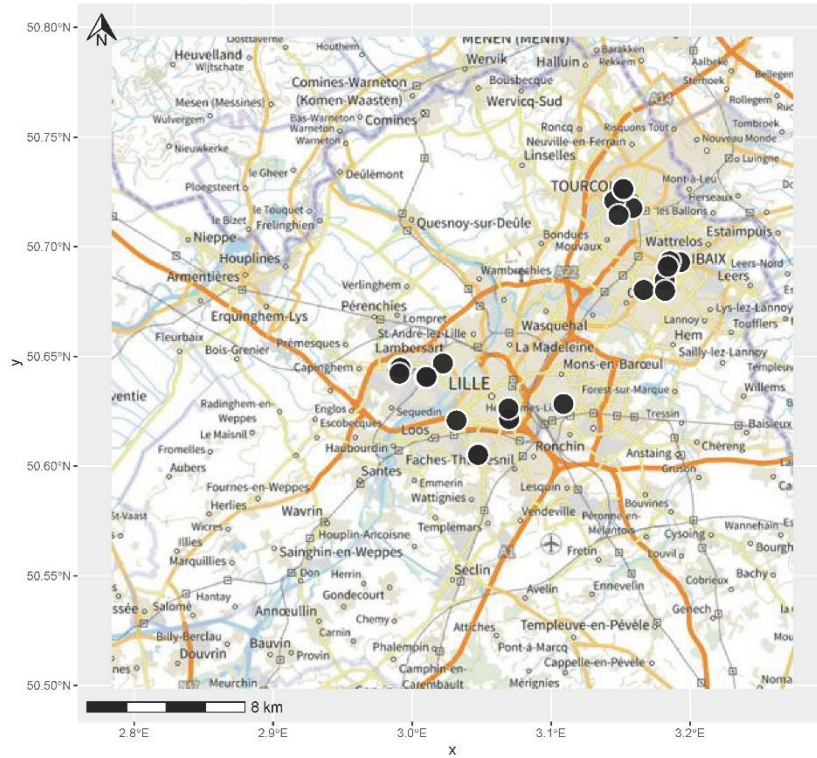
C10-C40-Coupes hydrocarbures
Boxplot dégroupé
LQ discretisées



C10-C40-Coupes hydrocarbures
Histogramme dégroupé
LQ discretisées

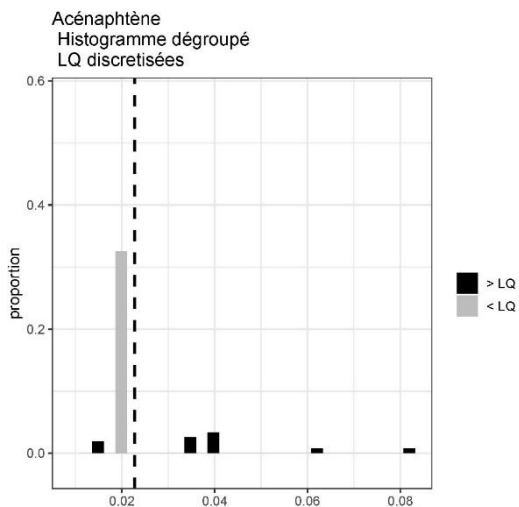
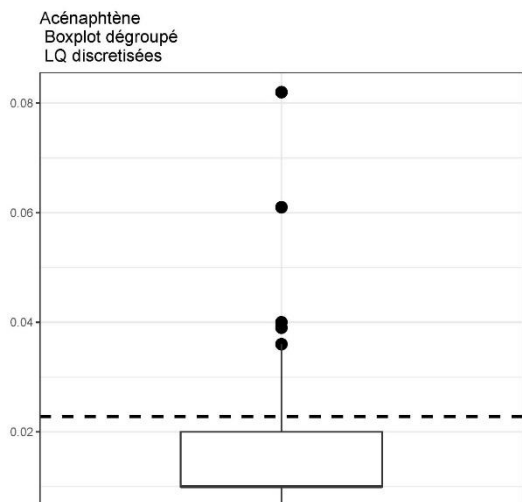


C10-C40-Coupes hydrocarbures

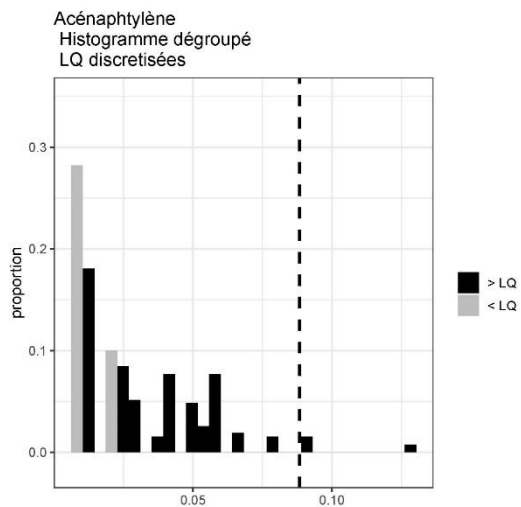
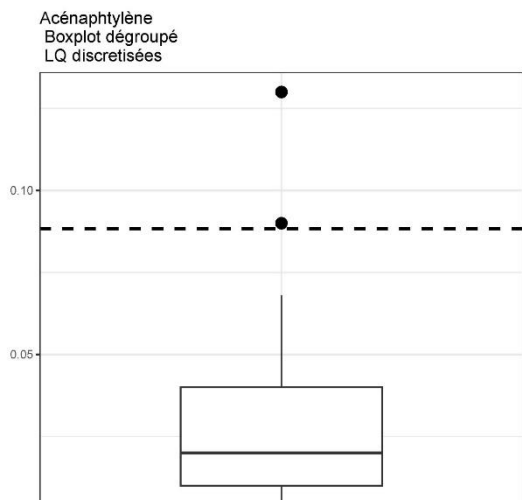


4.3. HYDROCARBURES AROMATIQUES POLYCYCLIQUES

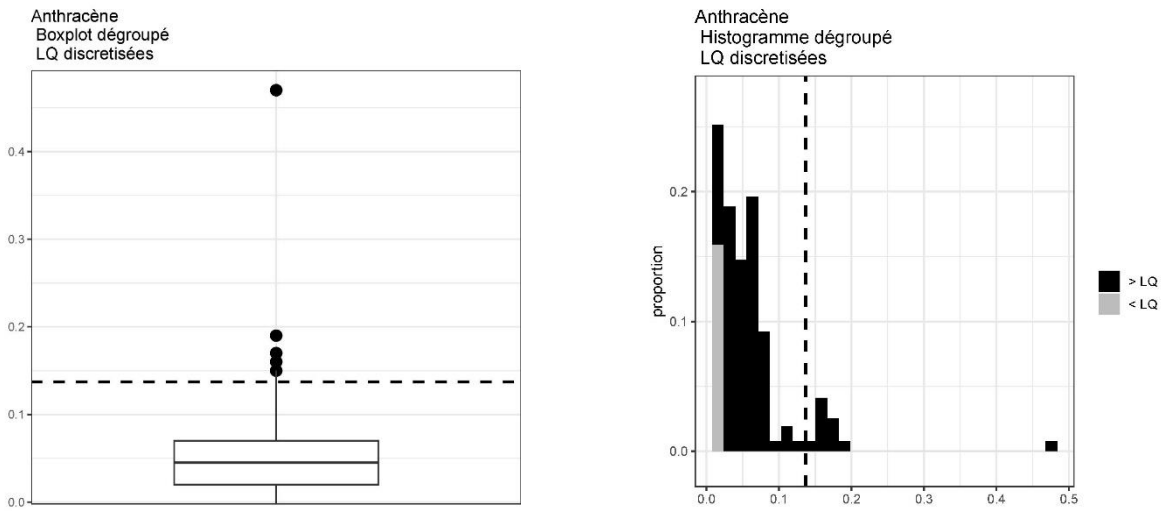
4.3.1. Acénaphène



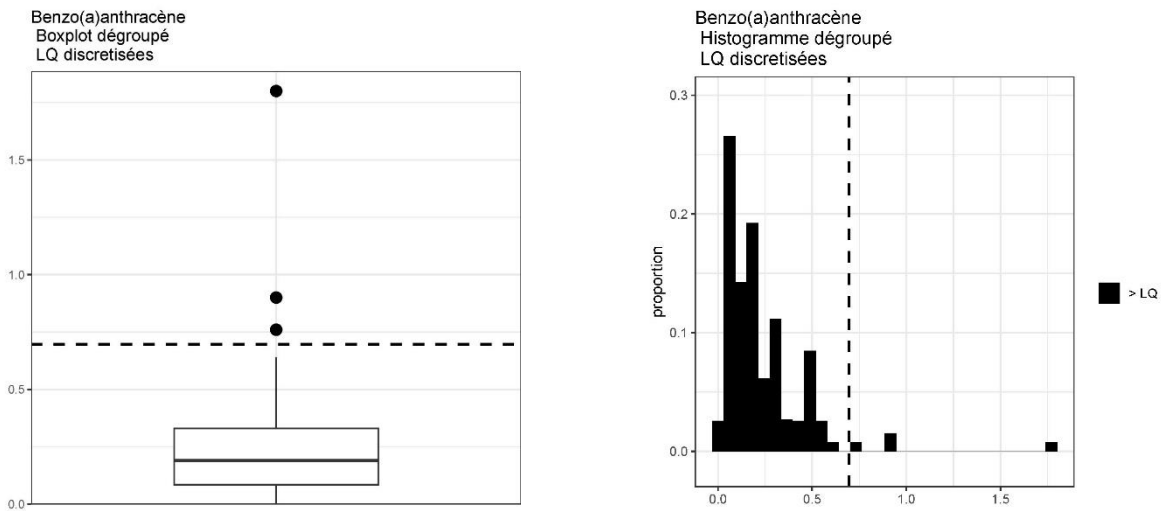
4.3.2. Acénaphthylène



4.3.3. Anthracène

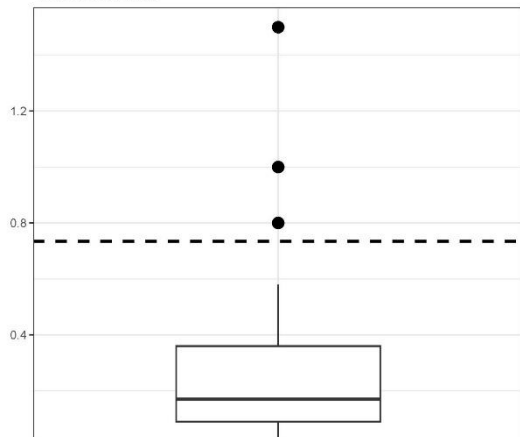


4.3.4. Benzo[a]anthracène

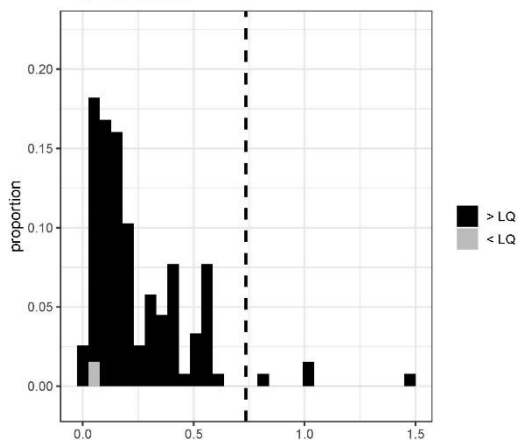


4.3.5. Benzo[a]pyrène

Benzo(a)pyrène
Boxplot dégroupé
LQ discretisées

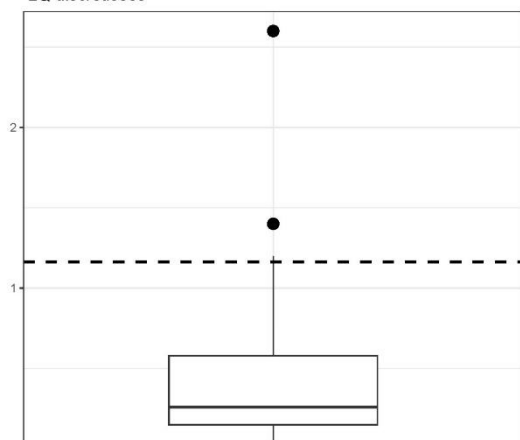


Benzo(a)pyrène
Histogramme dégroupé
LQ discretisées

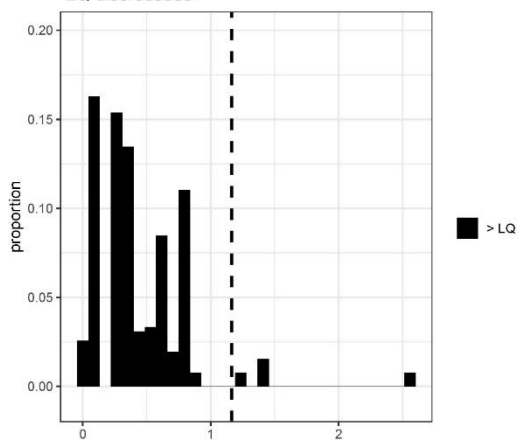


4.3.6. Benzo[b]fluoranthène

Benzo(b)fluoranthène
Boxplot dégroupé
LQ discretisées

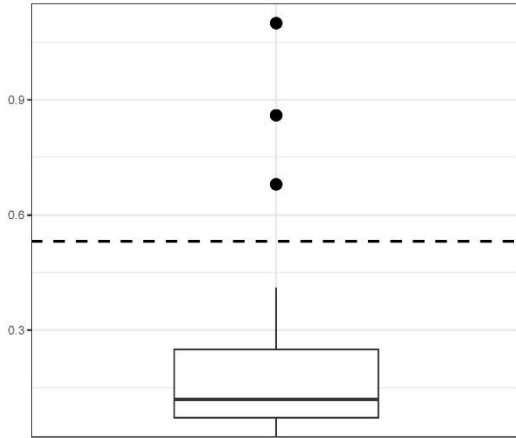


Benzo(b)fluoranthène
Histogramme dégroupé
LQ discretisées

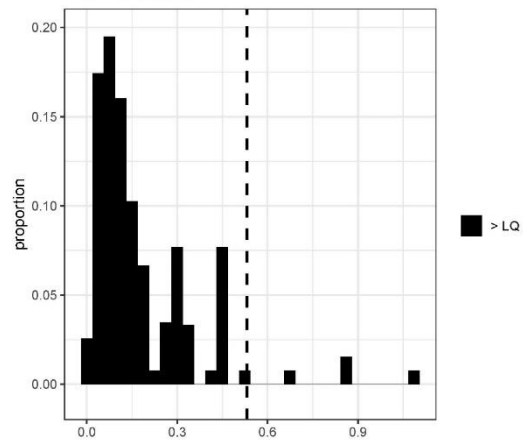


4.3.7. Benzo[ghi]pérylène

Benzo(g)
Boxplot dégroupé
LQ discretisées

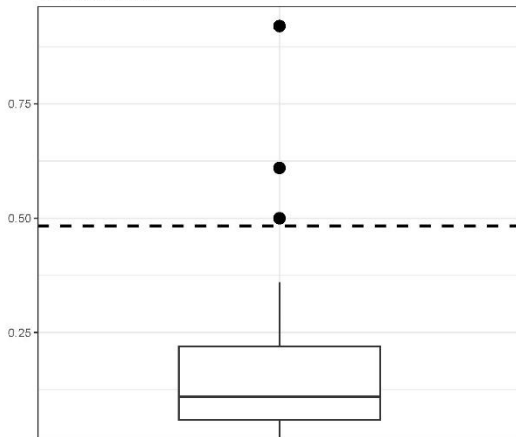


Benzo(g)
Histogramme dégroupé
LQ discretisées

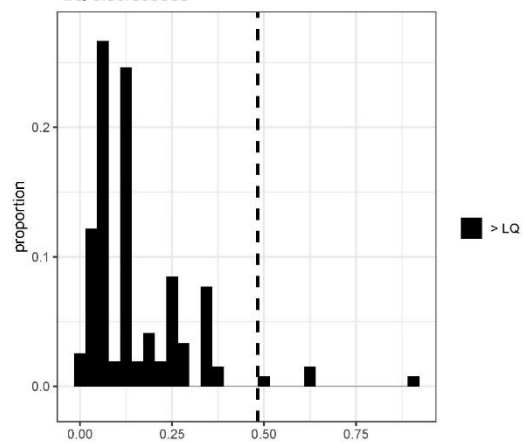


4.3.8. Benzo[k]fluoranthène

Benzo(k)fluoranthène
Boxplot dégroupé
LQ discretisées

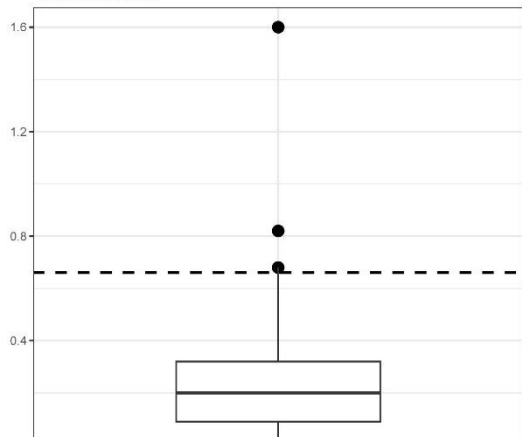


Benzo(k)fluoranthène
Histogramme dégroupé
LQ discretisées

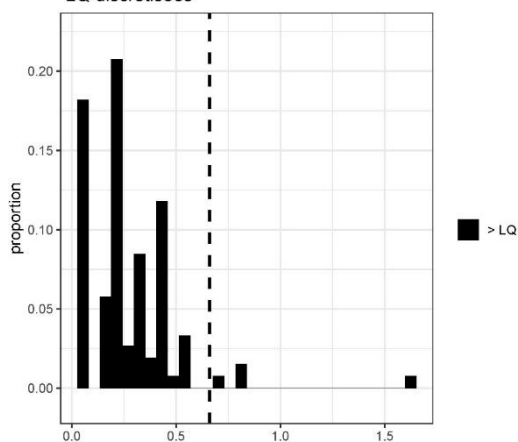


4.3.9. Chrysène

Chrysène
Boxplot dégroupé
LQ discretisées

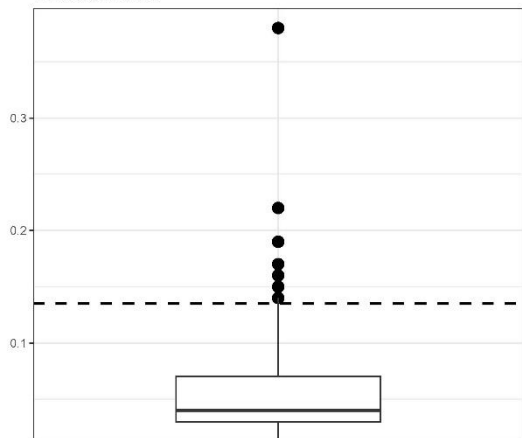


Chrysène
Histogramme dégroupé
LQ discretisées

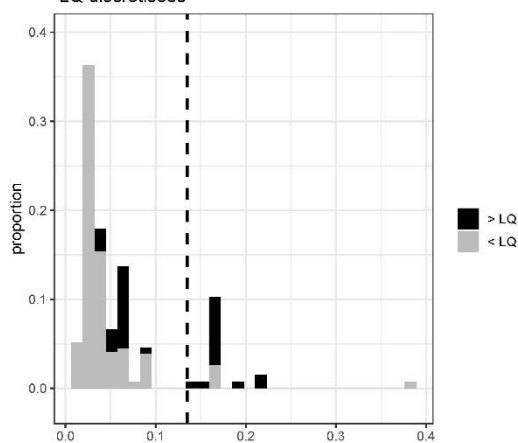


4.3.10. Dibenzo[a,h]anthracène

Dibenzo(a)
Boxplot dégroupé
LQ discretisées

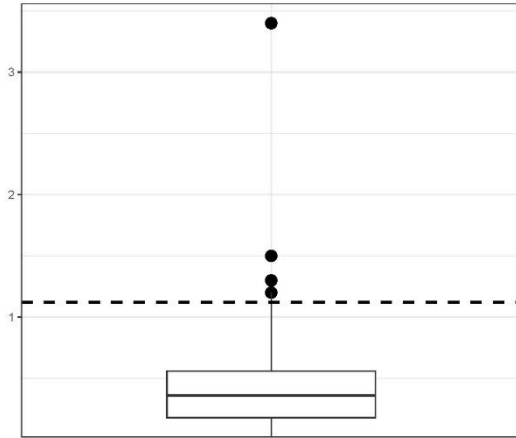


Dibenzo(a)
Histogramme dégroupé
LQ discretisées

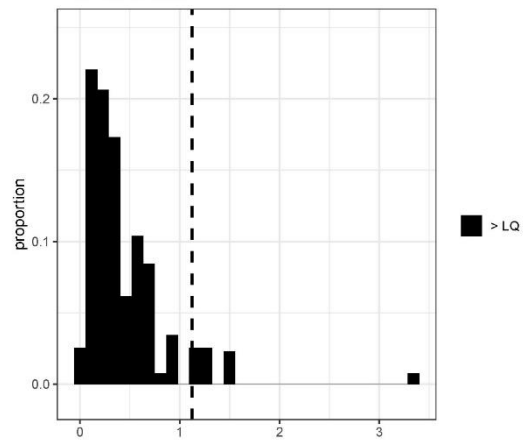


4.3.11. Fluoranthène

Fluoranthène
Boxplot dégroupé
LQ discretisées

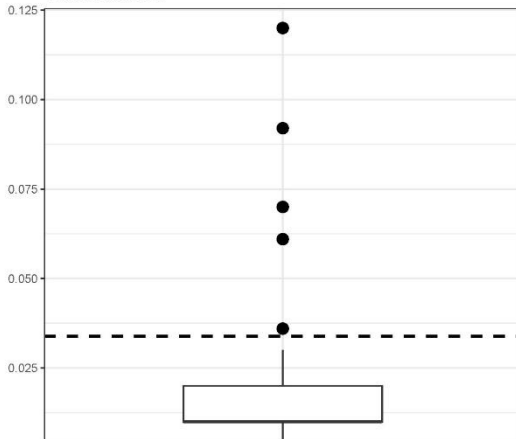


Fluoranthène
Histogramme dégroupé
LQ discretisées

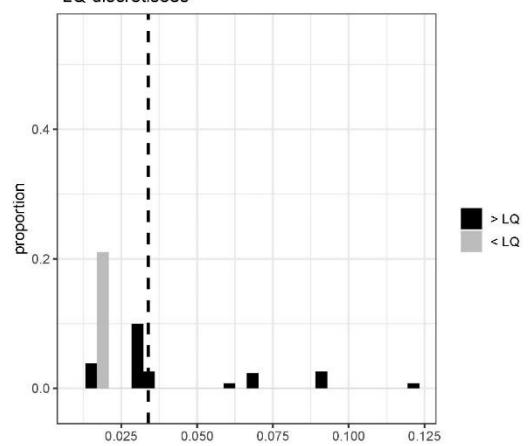


4.3.12. Fluorène

Fluorène
Boxplot dégroupé
LQ discretisées

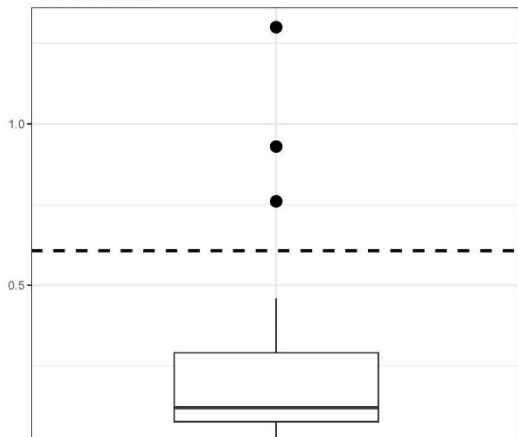


Fluorène
Histogramme dégroupé
LQ discretisées

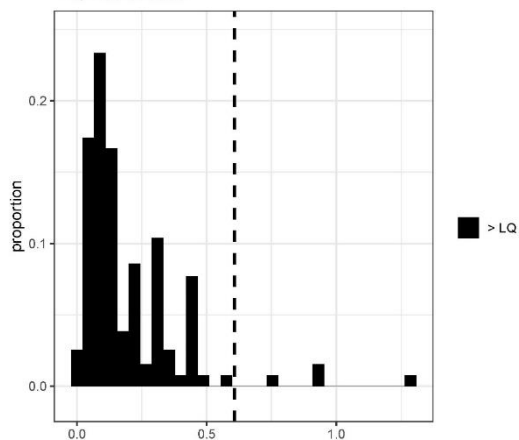


4.3.13. Indéno[1,2,3-cd]pyrène

Indéno(1)
Boxplot dégroupé
LQ discretisées

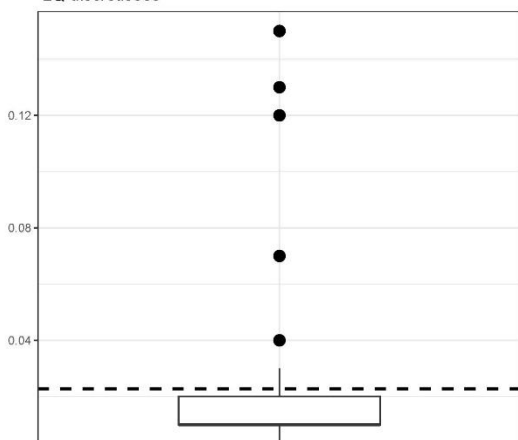


Indéno(1)
Histogramme dégroupé
LQ discretisées

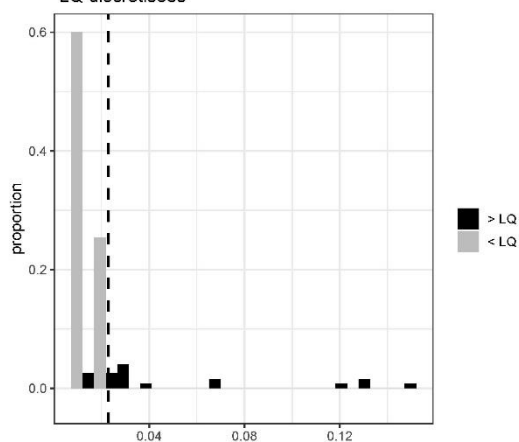


4.3.14. Naphtalène

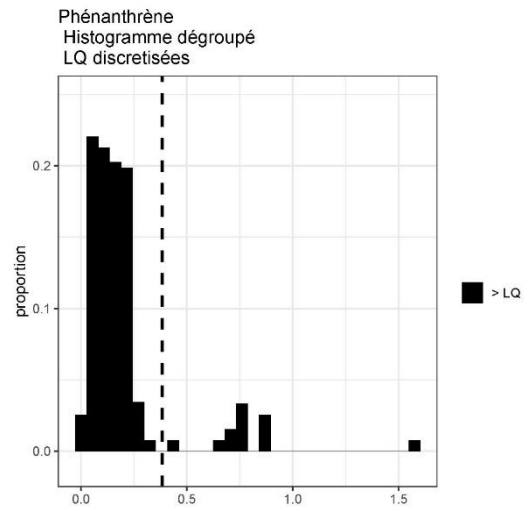
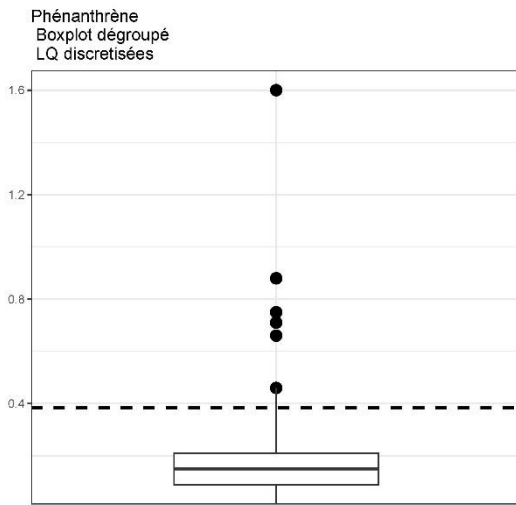
Naphtalène
Boxplot dégroupé
LQ discretisées



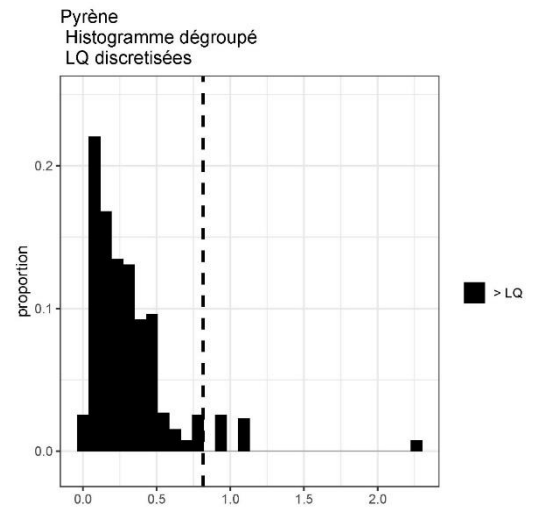
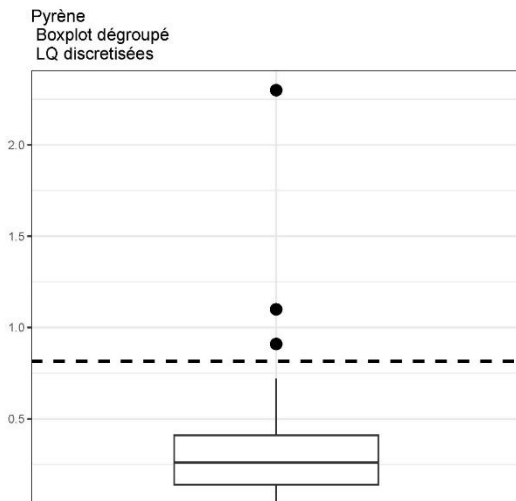
Naphtalène
Histogramme dégroupé
LQ discretisées



4.3.15. Phénanthrène

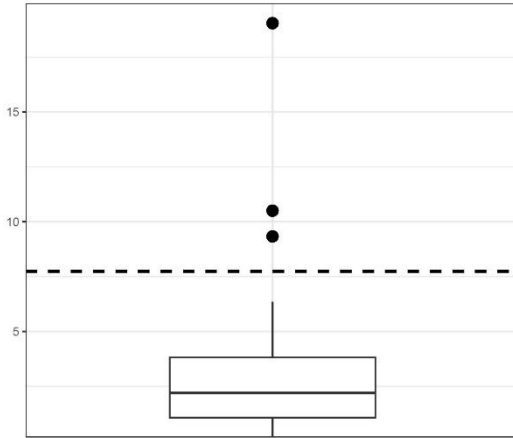


4.3.16. Pyrène

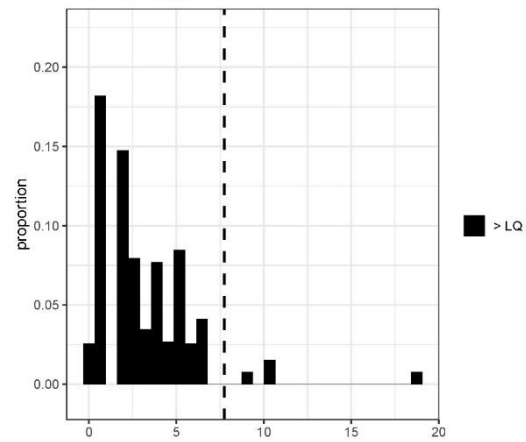


4.3.17. Somme des 16 HAP US EPA

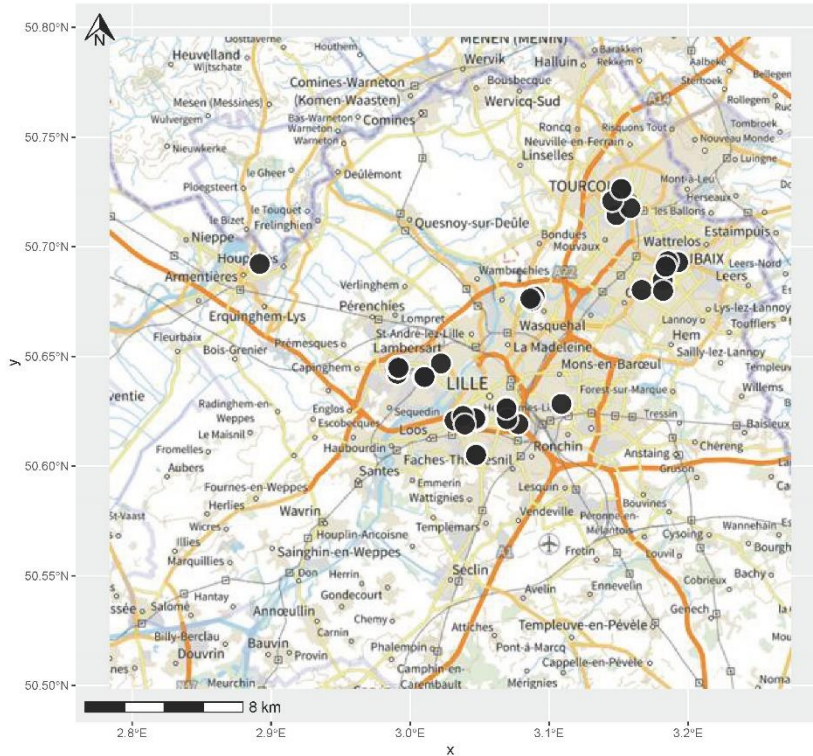
Somme 16 HAP US EPA
Boxplot dégroupé
LQ discretisées



Somme 16 HAP US EPA
Histogramme dégroupé
LQ discretisées

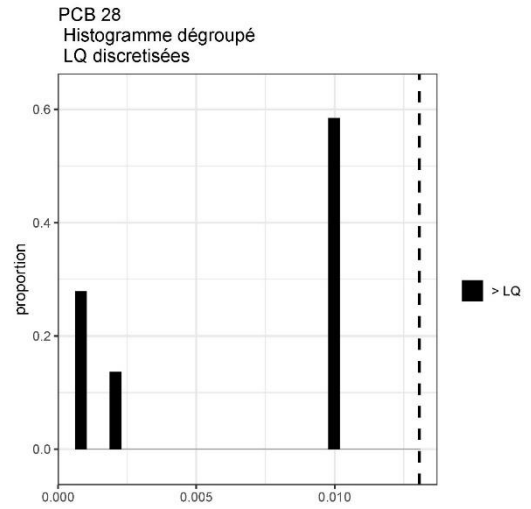
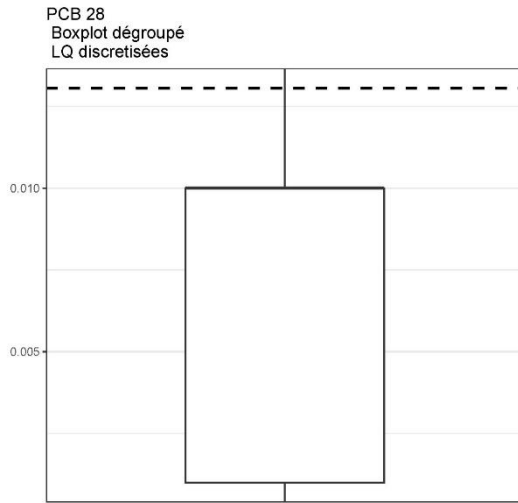


Somme 16 HAP US EPA

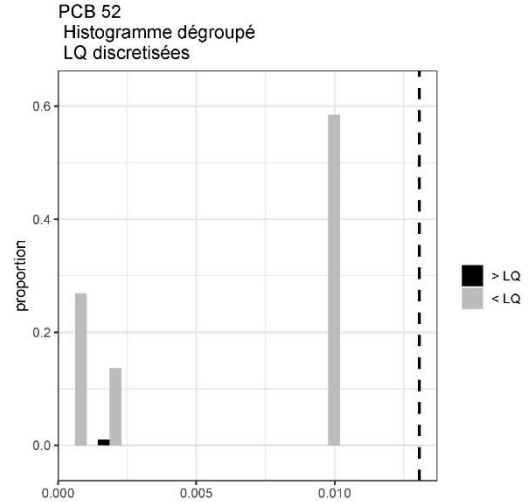
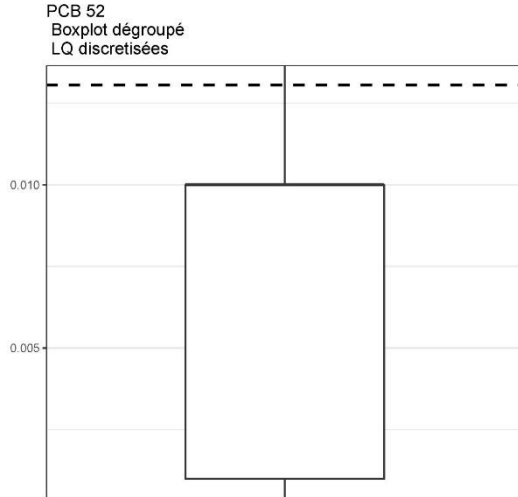


4.4. POLYCHLOROBIPHENYLES

4.4.1. PCB 28

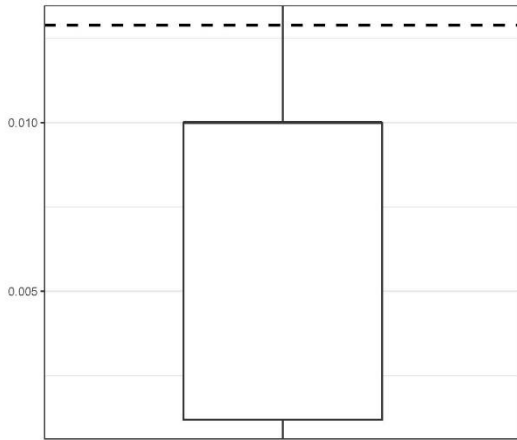


4.4.2. PCB 52

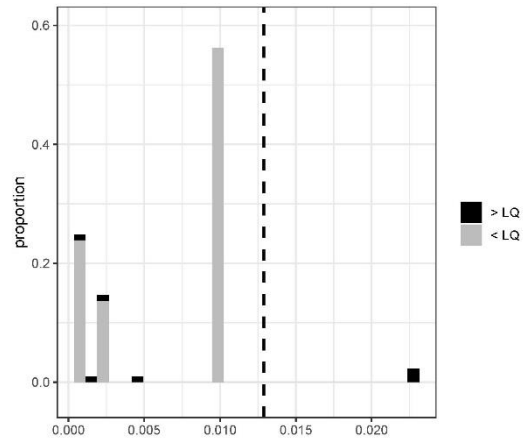


4.4.3. PCB 101

PCB 101
Boxplot dégroupé
LQ discretisées

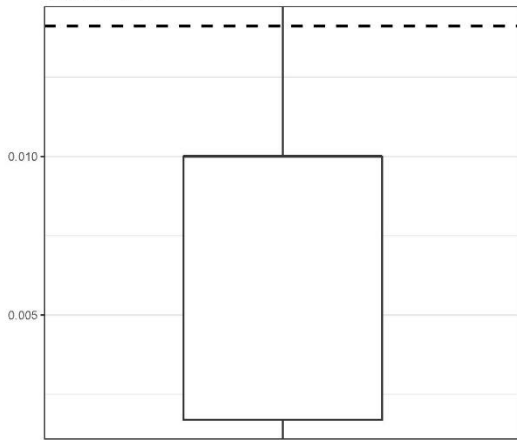


PCB 101
Histogramme dégroupé
LQ discretisées

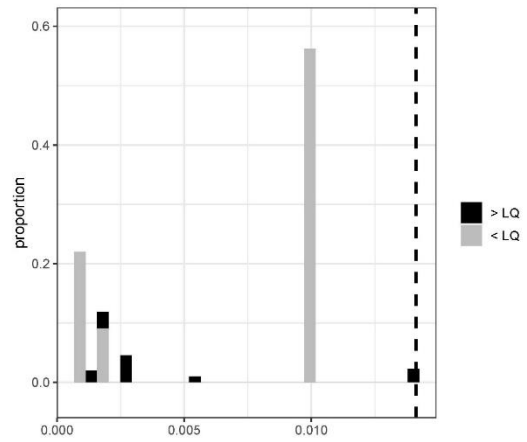


4.4.4. PCB 118

PCB 118
Boxplot dégroupé
LQ discretisées

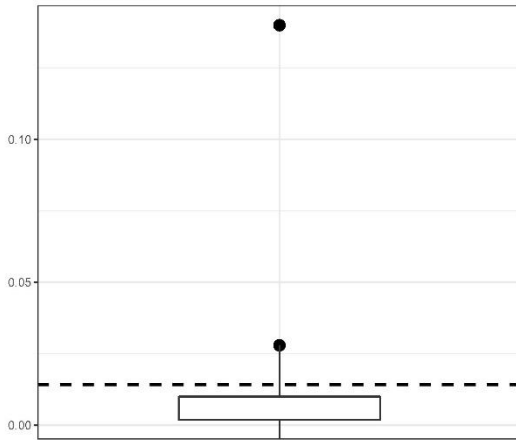


PCB 118
Histogramme dégroupé
LQ discretisées

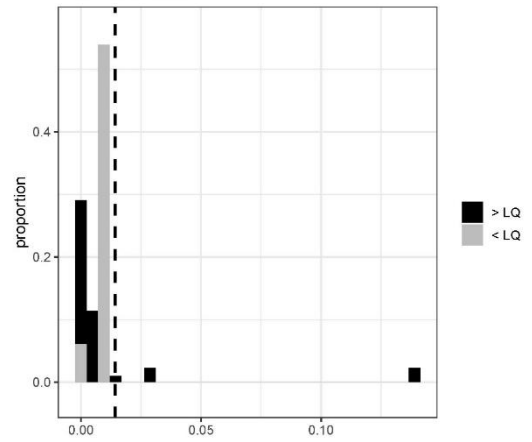


4.4.5. PCB 138

PCB 138
Boxplot dégroupé
LQ discretisées

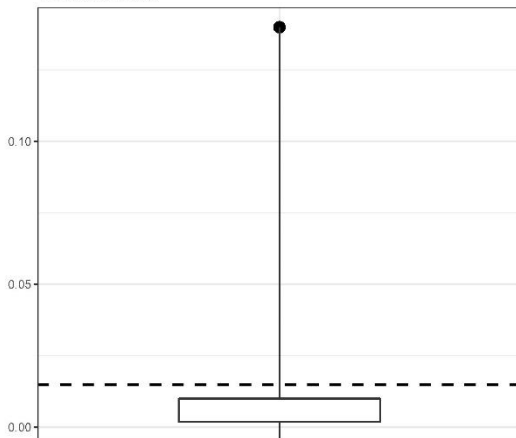


PCB 138
Histogramme dégroupé
LQ discretisées

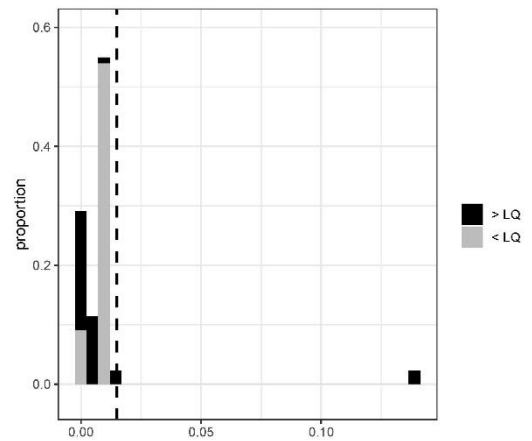


4.4.6. PCB 153

PCB 153
Boxplot dégroupé
LQ discretisées

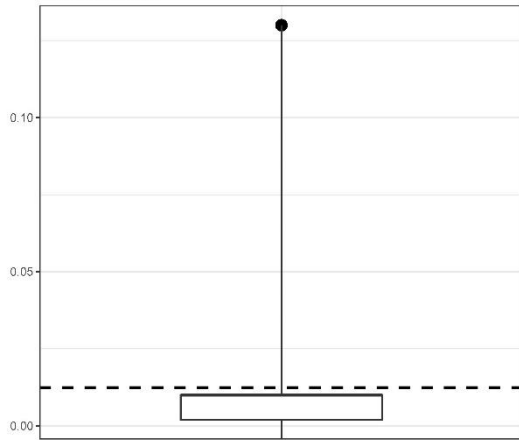


PCB 153
Histogramme dégroupé
LQ discretisées

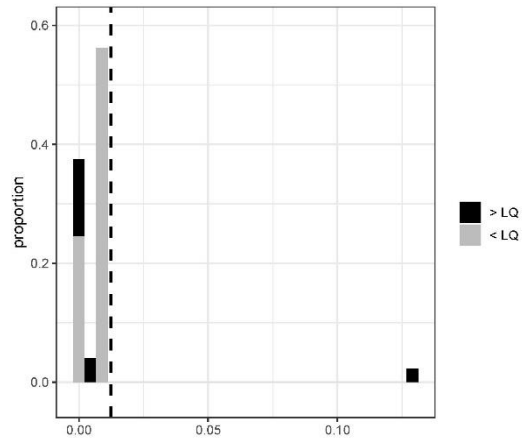


4.4.7. PCB 180

PCB 180
Boxplot dégroupé
LQ discretisées

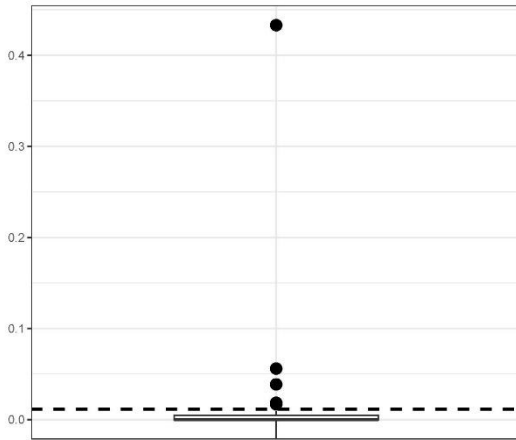


PCB 180
Histogramme dégroupé
LQ discretisées

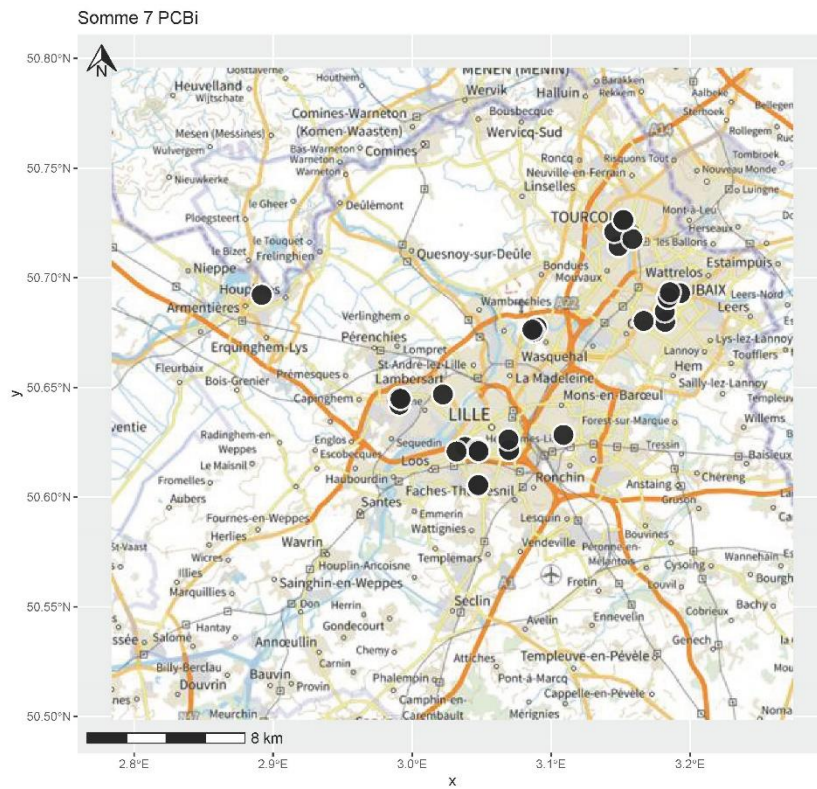
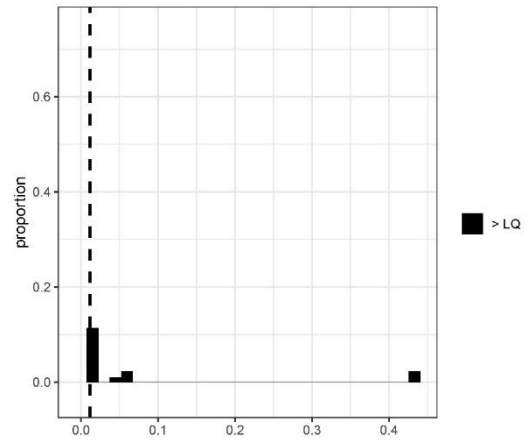


4.4.8. Somme des 7 PCB indicateurs

Somme 7 PCBi
Boxplot dégroupé
LQ discretisées



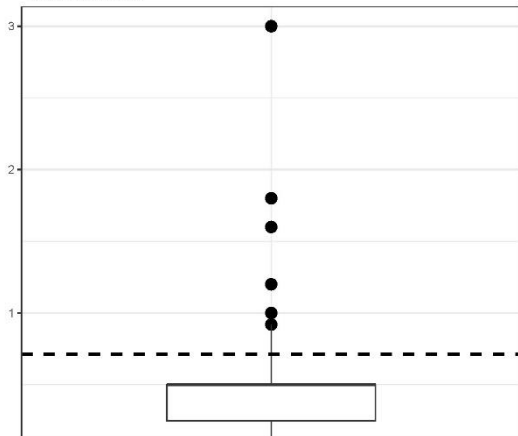
Somme 7 PCBi
Histogramme dégroupé
LQ discretisées



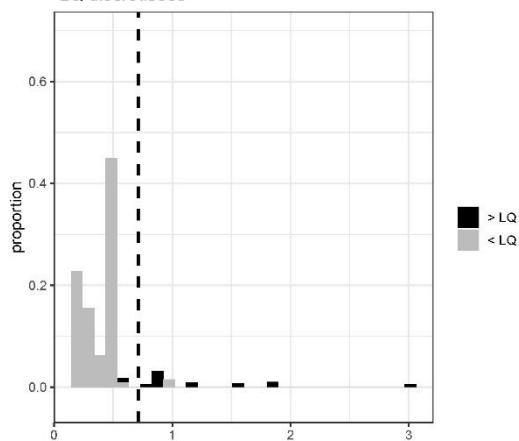
4.5. DIOXINES

4.5.1. 2-3-7-8-TCDD

2,3,7,8-Tetrachlorodibenzo-p-Dioxine
Boxplot dégroupé
LQ discretisées

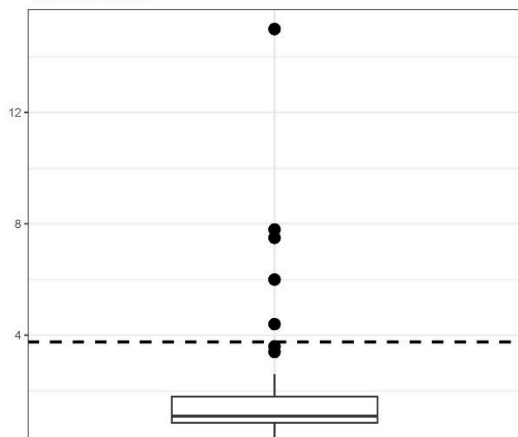


2,3,7,8-Tetrachlorodibenzo-p-Dioxine
Histogramme dégroupé
LQ discretisées

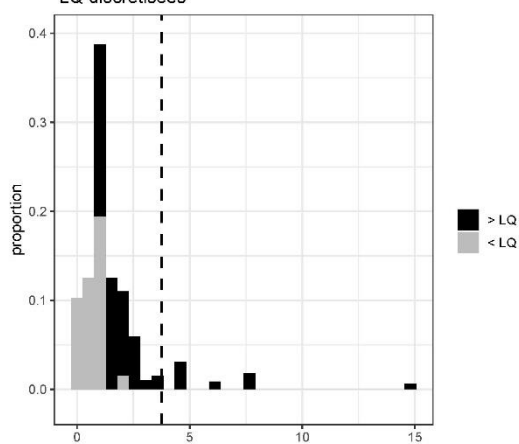


4.5.2. 1-2-3-7-8-PeCDD

1,2,3,7,8-Pentachlorodibenzo-p-dioxine
Boxplot dégroupé
LQ discretisées

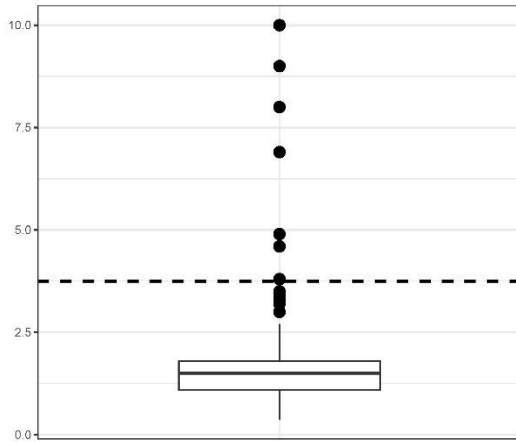


1,2,3,7,8-Pentachlorodibenzo-p-dioxine
Histogramme dégroupé
LQ discretisées

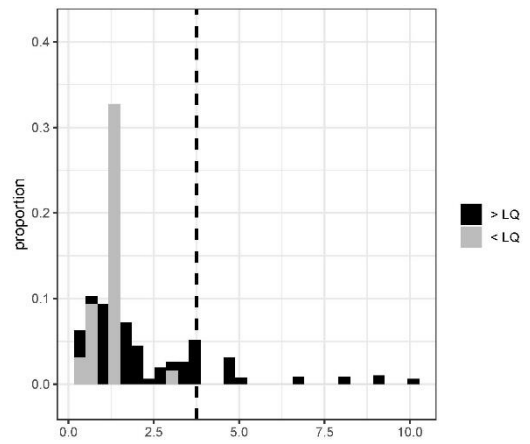


4.5.3. 1-2-3-4-7-8-HxCDD

1,2,3,4,7,8-Hexachlorodibenzo-p-dioxine
Boxplot dégroupé
LQ discretisées

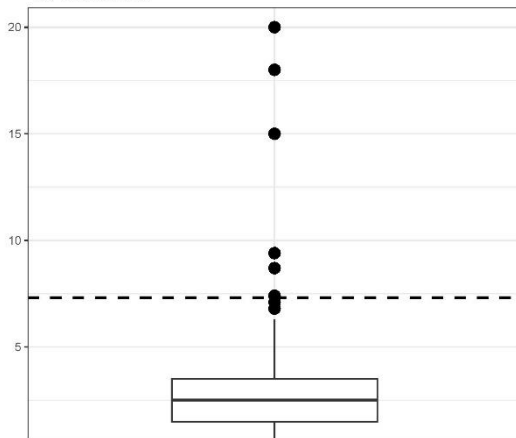


1,2,3,4,7,8-Hexachlorodibenzo-p-dioxine
Histogramme dégroupé
LQ discretisées

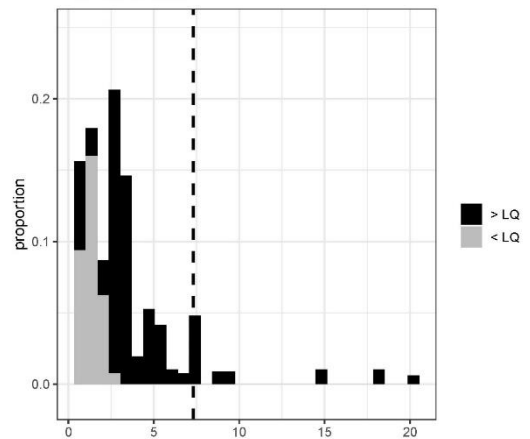


4.5.4. 1-2-3-6-7-8-HxCDD

1,2,3,6,7,8-Hexachlorodibenzo-p-dioxine
Boxplot dégroupé
LQ discretisées

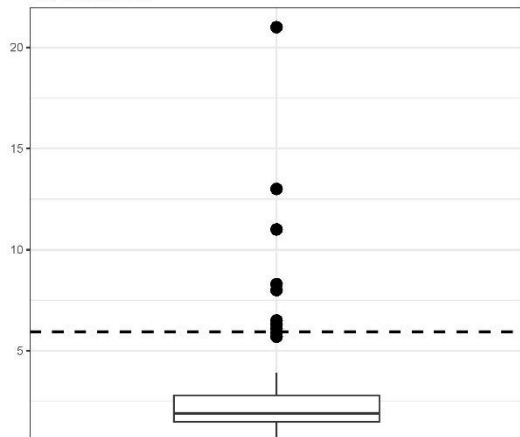


1,2,3,6,7,8-Hexachlorodibenzo-p-dioxine
Histogramme dégroupé
LQ discretisées

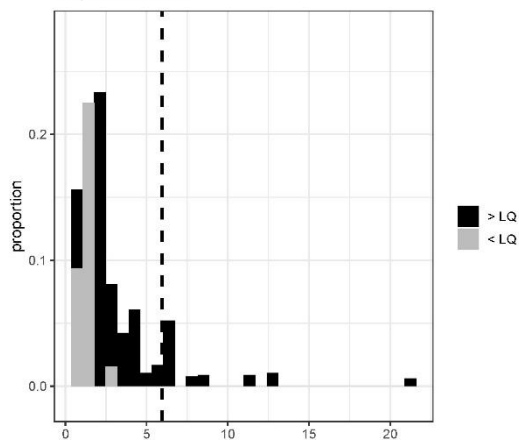


4.5.5. 1-2-3-7-8-9-HxCDD

1,2,3,7,8,9-Hexachlorodibenzo-p-dioxine
Boxplot dégroupé
LQ discretisées

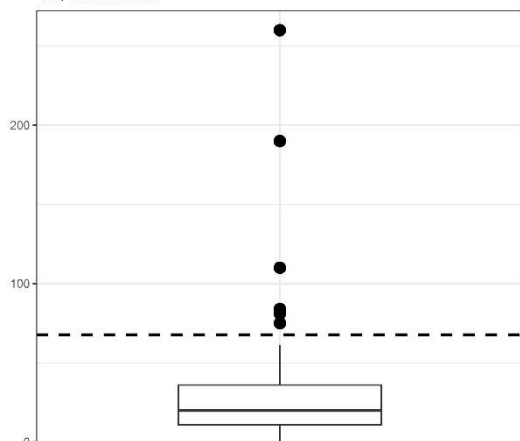


1,2,3,7,8,9-Hexachlorodibenzo-p-dioxine
Histogramme dégroupé
LQ discretisées

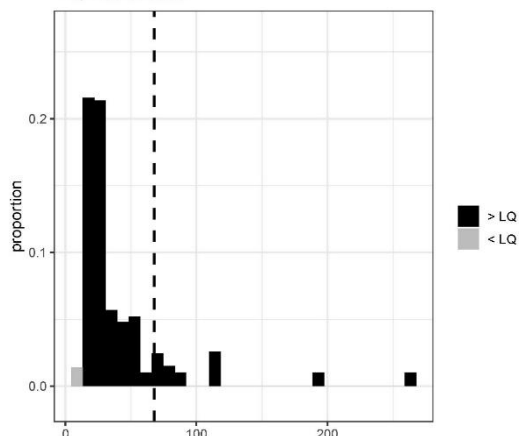


4.5.6. 1-2-3-4-6-7-8-HpCDD

1,2,3,4,6,7,8-Heptachlorodibenzo-p-dioxine
Boxplot dégroupé
LQ discretisées

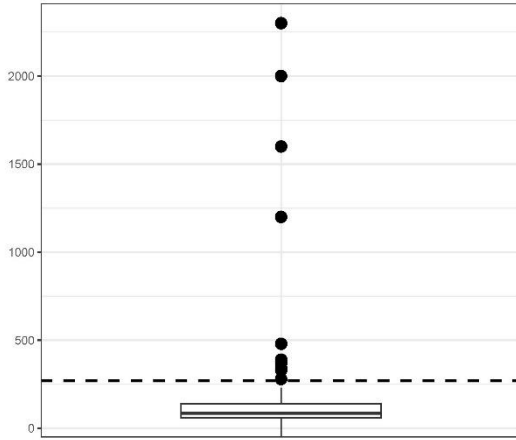


1,2,3,4,6,7,8-Heptachlorodibenzo-p-dioxine
Histogramme dégroupé
LQ discretisées

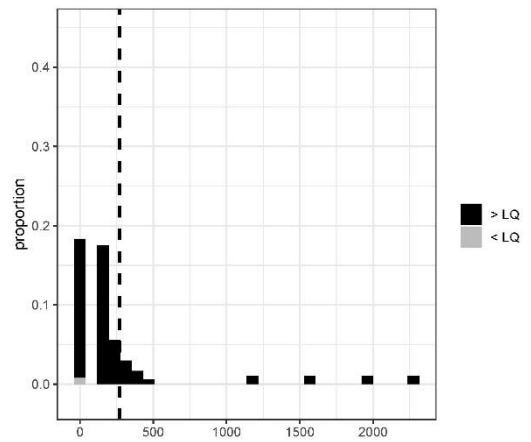


4.5.7. OCDD

1,2,3,4,6,7,8,9-Octachlorodibenzo-p-dioxine
Boxplot dégroupé
LQ discretisées



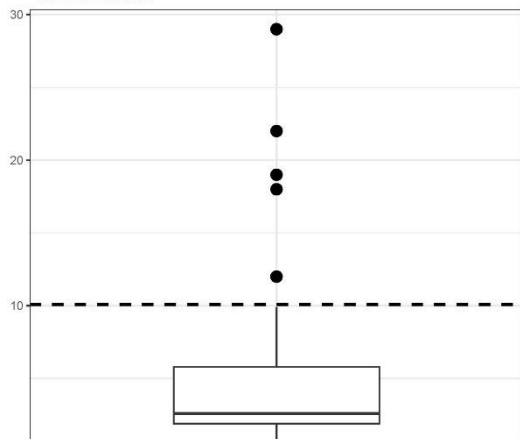
1,2,3,4,6,7,8,9-Octachlorodibenzo-p-dioxine
Histogramme dégroupé
LQ discretisées



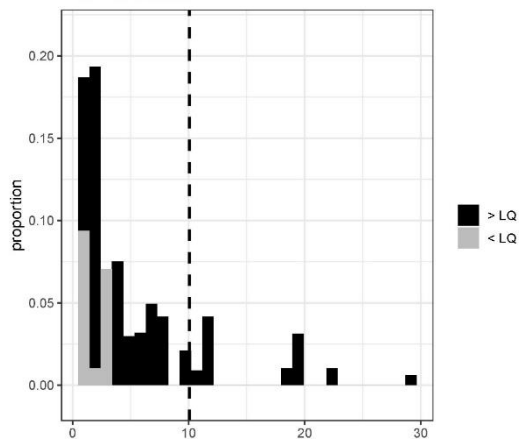
4.6. FURANES

4.6.1. 2-3-7-8-TCDF

2,3,7,8-Tetrachlorodibenzofurane
Boxplot dégroupé
LQ discretisées

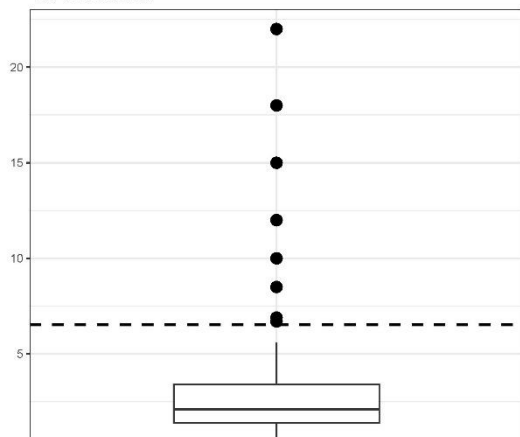


2,3,7,8-Tetrachlorodibenzofurane
Histogramme dégroupé
LQ discretisées

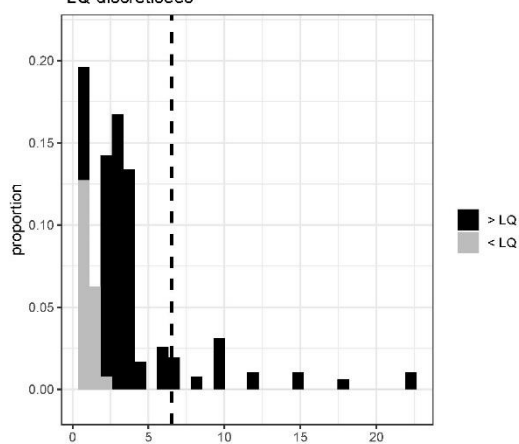


4.6.2. 1-2-3-7-8-PeCDF

1,2,3,7,8-Pentachlorodibenzofurane
Boxplot dégroupé
LQ discretisées

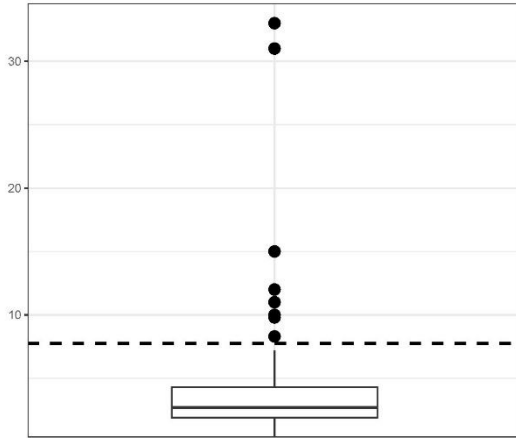


1,2,3,7,8-Pentachlorodibenzofurane
Histogramme dégroupé
LQ discretisées

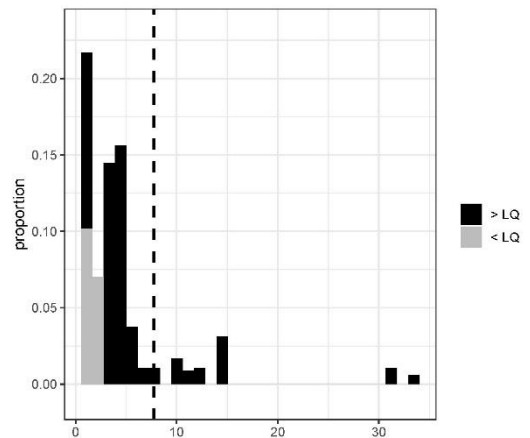


4.6.3. 2-3-4-7-8-PeCDF

2,3,4,7,8-Pentachlorodibenzofurane
Boxplot dégroupé
LQ discretisées

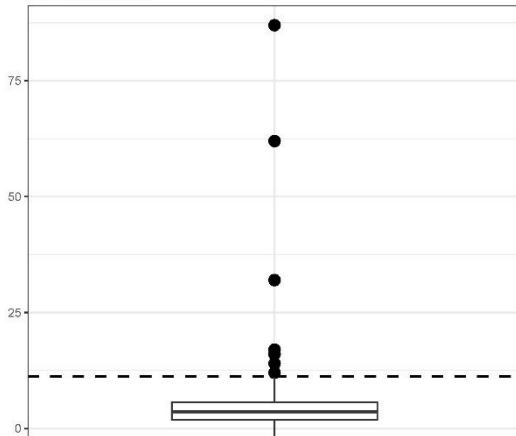


2,3,4,7,8-Pentachlorodibenzofurane
Histogramme dégroupé
LQ discretisées

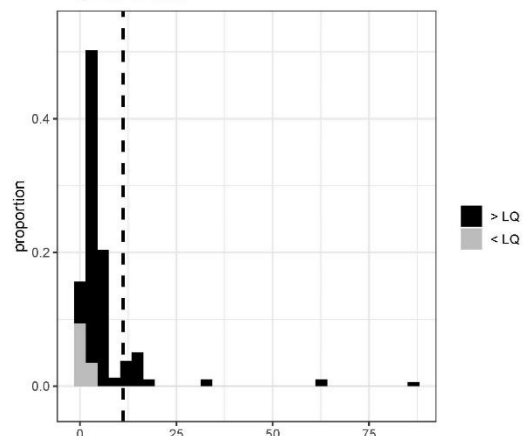


4.6.4. 1-2-3-4-7-8-HxCDF

1,2,3,4,7,8-hexachlorodibenzofurane
Boxplot dégroupé
LQ discretisées

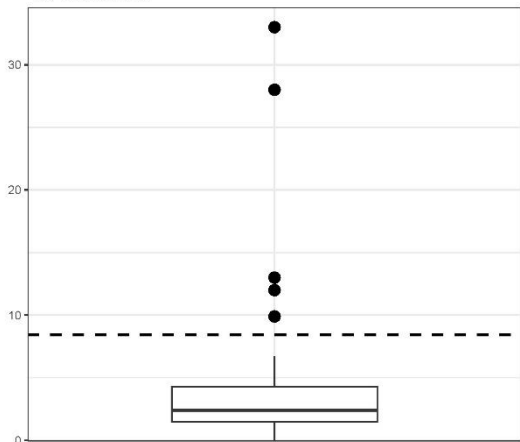


1,2,3,4,7,8-hexachlorodibenzofurane
Histogramme dégroupé
LQ discretisées

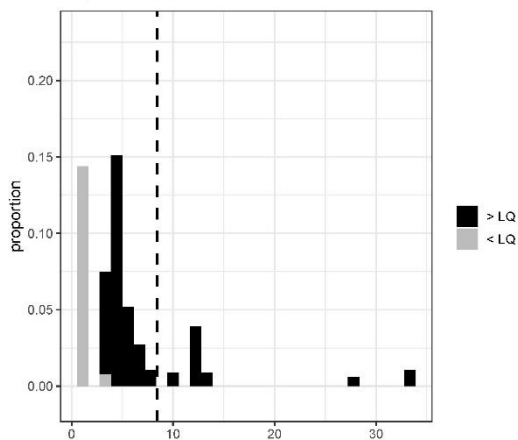


4.6.5. 1-2-3-6-7-8-HxCDF

1,2,3,6,7,8-Hexachlorodibenzofurane
Boxplot dégroupé
LQ discretisées

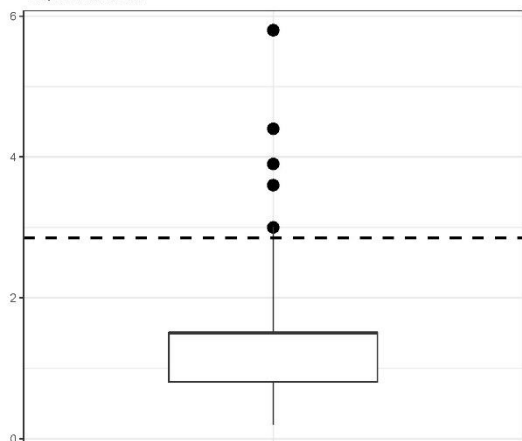


1,2,3,6,7,8-Hexachlorodibenzofurane
Histogramme dégroupé
LQ discretisées

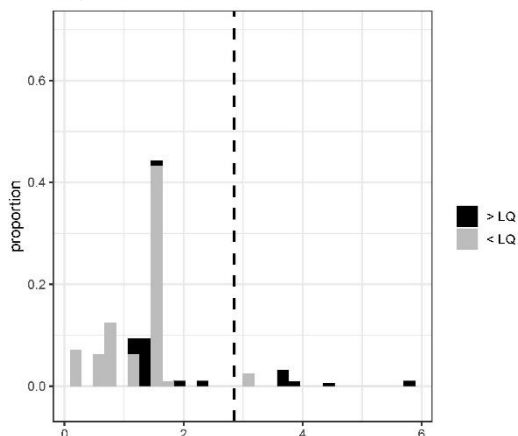


4.6.6. 1-2-3-7-8-9-HxCDF

1,2,3,7,8,9-Hexachlorodibenzofurane
Boxplot dégroupé
LQ discretisées

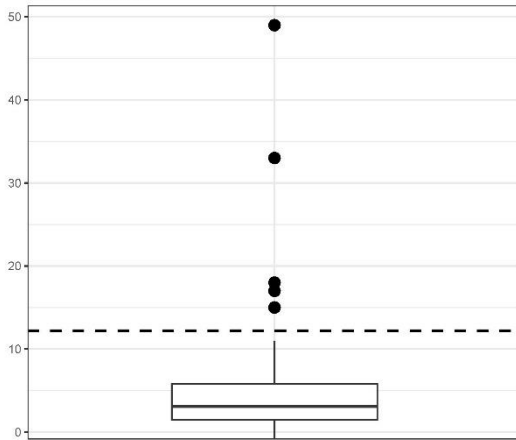


1,2,3,7,8,9-Hexachlorodibenzofurane
Histogramme dégroupé
LQ discretisées

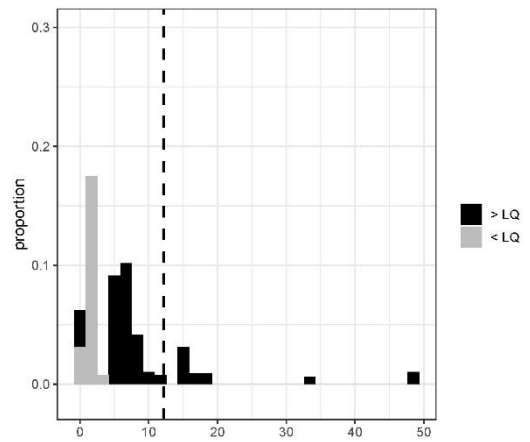


4.6.7. 2-3-4-6-7-8-HxCDF

2,3,4,6,7,8–Hexachlorodibenzofurane
Boxplot dégroupé
LQ discretisées

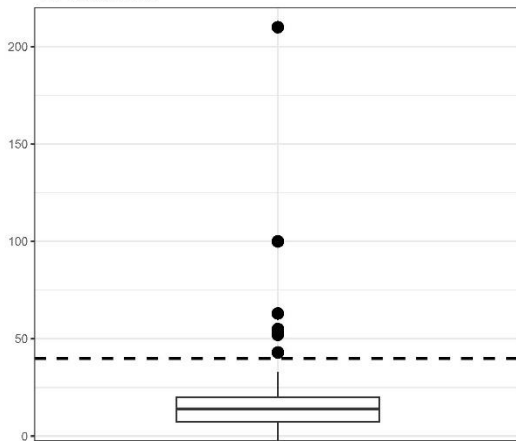


2,3,4,6,7,8–Hexachlorodibenzofurane
Histogramme dégroupé
LQ discretisées

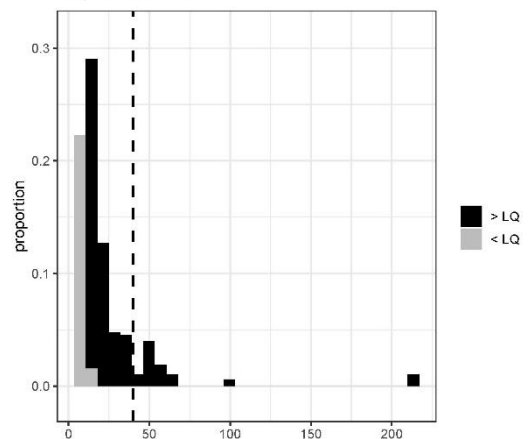


4.6.8. 1-2-3-4-6-7-8-HpCDF

1,2,3,4,6,7,8–Heptachlorodibenzofurane
Boxplot dégroupé
LQ discretisées

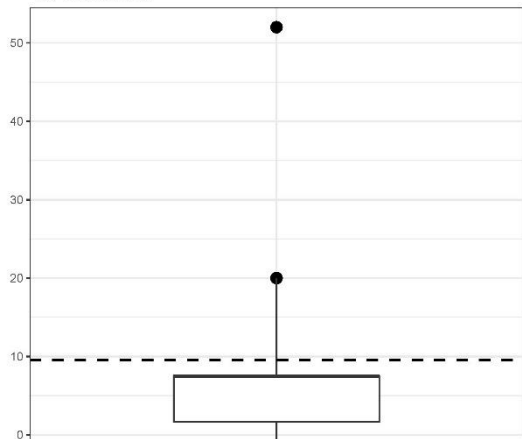


1,2,3,4,6,7,8–Heptachlorodibenzofurane
Histogramme dégroupé
LQ discretisées

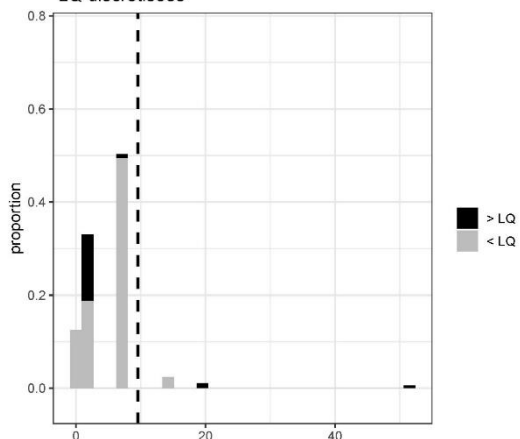


4.6.9. 1-2-3-4-7-8-9-HpCDF

1,2,3,4,7,8,9-Heptachlorodibenzofurane
Boxplot dégroupé
LQ discretisées

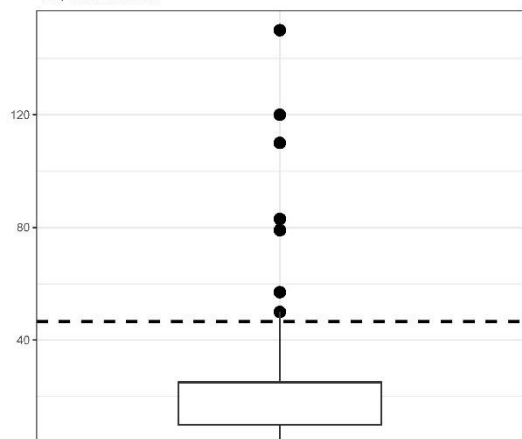


1,2,3,4,7,8,9-Heptachlorodibenzofurane
Histogramme dégroupé
LQ discretisées

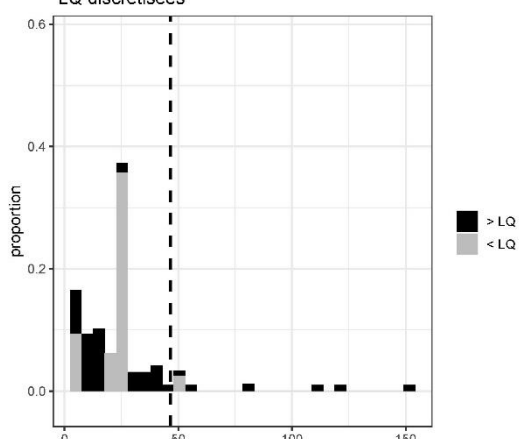


4.6.10. OCDF

Octachlorodibenzofuranne
Boxplot dégroupé
LQ discretisées



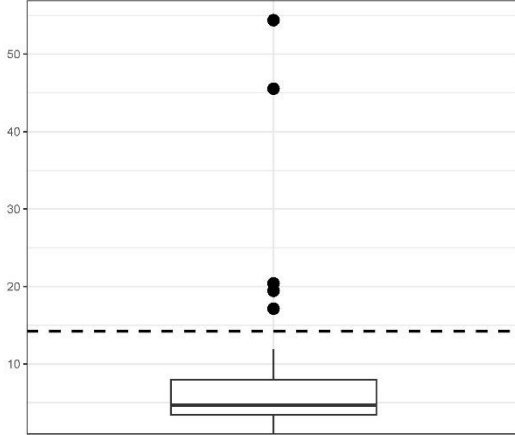
Octachlorodibenzofuranne
Histogramme dégroupé
LQ discretisées



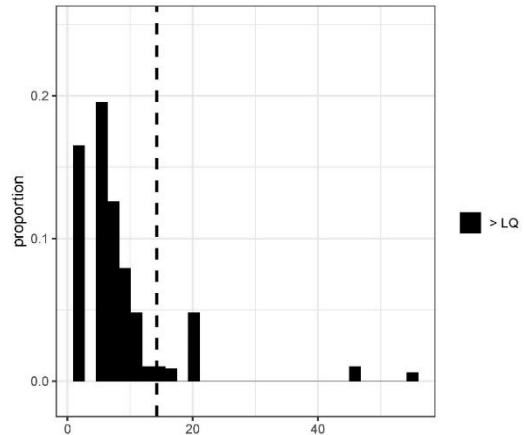
4.7. DIOXINES ET FURANES

4.7.1. Somme des dioxines et furanes

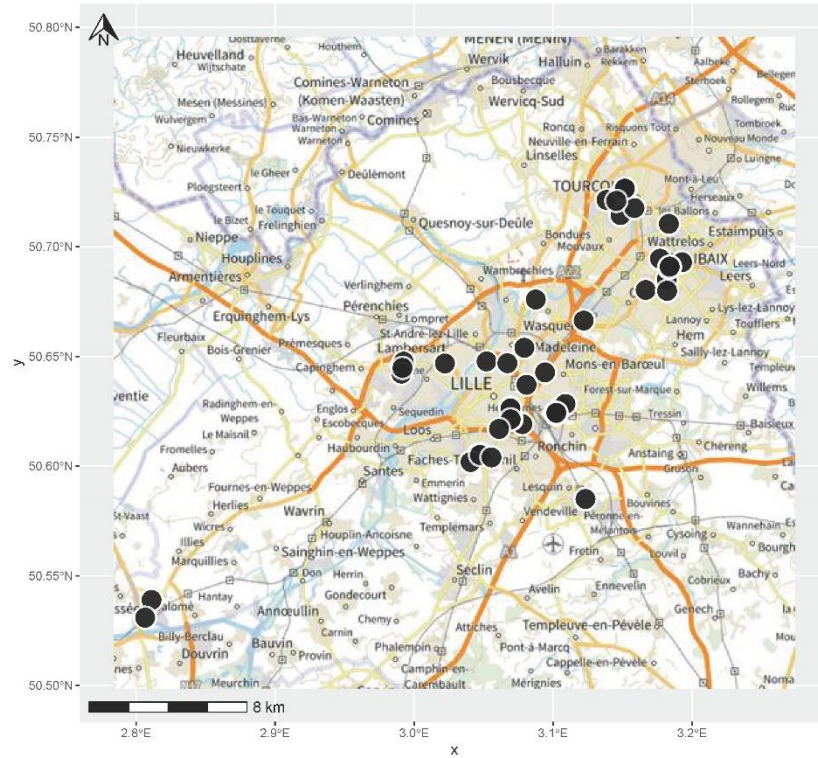
Somme dioxines & furanes
Boxplot dégroupé
LQ discretisées



Somme dioxines & furanes
Histogramme dégroupé
LQ discretisées



Somme dioxines & furanes





**RÉPUBLIQUE
FRANÇAISE**

*Liberté
Égalité
Fraternité*

Centre scientifique et technique
3, avenue Claude-Guillemin
BP 36009
45060 – Orléans Cedex 2 – France
Tél. : 02 38 64 34 34
www.brgm.fr



Géosciences pour une Terre durable

brgm